



Babeş-Bolyai University
Facultatea de Chimie şi Inginerie Chimica



CERCETARI IN CHIMIA COMPUȘILOR STANIU-ORGANICI

Rezumatul tezei de doctorat

BARBUL IOANA

Conducator stiintific:

Prof. Dr. CRISTIAN SILVESTRU

Cluj-Napoca, 2012

COMISIE**PRESEDINTE**

Prof. Dr. Luminița SILAGHI-DUMITRESCU

REFERENȚI

Prof. Dr. Kieran Molloy – Department of Chemistry, University of Bath, United Kingdom.

Conf. Dr. Ing. Monica Venter – Facultatea de Chimie și Inginerie Chimică, Babeș-Bolyai University, Cluj-Napoca, Romania.

Prof. Dr. Ing. Lelia Ciontea – Universitatea Tehnica Cluj-Napoca, Cluj-Napoca, Romania

Data sustinerii publice: 28 Septembrie 2012

CUPRINS

Prescurtari, Acronime si Simboluri	5
Introducere generala	7
PARTEA 1. Sinteza si caracterizarea structurala a unor noi compusi staniu(IV)-organici cu liganzi organici cu posibilitati de coordinare intramoleculara	11
1.1. Date de literatura	13
1.1.1. Compusi staniuorganici hipervalenti cu with single bonded intramolecularly coordinating oxygen	14
1.1.2. Compusi staniuorganici hipervalenti cu double bonded intramolecularly coordinating oxygen	26
1.1.3. Hypervalent organotin compounds with double bonded intramolecularly coordinating nitrogen	33
1.2. Obiective	44
1.3. Contributii originale	46
1.3.A. Compusi staniu(IV)-organici ce contin fragmentul 2- $\{(CH_2O)_2CH\}C_6H_4$	48
1.3.A.1. Sinteza	48
1.3.A.2. Spectroscopie RMN	50
1.3.A.3. Studii de difractie de raze X pe monocristal	57
1.3.A.4. Spectroscopie IR	66
1.3.A.5. Spectrometrie de masa	67
1.3.B. Compusi staniu(IV)-organici ce contin fragmentul 2-(O=CH)-C ₆ H ₄	68
1.3.B.1. Sinteza	68
1.3.B.2. Spectroscopie RMN	69
1.3.B.3. Studii de difractie de raze X pe monocristal	76
1.3.B.4. Spectroscopie IR	79
1.3.B.5. Spectrometrie de masa	80
1.3.C. Compusi staniu(IV)-organici ce contin o legatura -C=N-	81
1.3.C.1. Sinteza	81
1.3.C.2. Spectroscopie RMN	83
1.3.C.3. Studii de difractie de raze X pe monocristal	90
1.3.C.4. Spectroscopie IR	98
1.3.C.5. Spectrometrie de masa	99
1.4. Concluzii	100
1.5. Partea experimentala	103
Sinteza [2- $\{(CH_2O)_2CH\}C_6H_4\]_4Sn (1)$	106
Sinteza [2- $\{(CH_2O)_2CH\}C_6H_4\]_3SnCl (2)$	107
Sinteza [2- $\{(CH_2O)_2CH\}C_6H_4\]_2SnCl2 (3)$	108
Sinteza [2- $\{(CH_2O)_2CH\}C_6H_4\]SnMe2Cl (4)$	109
Sinteza [2- $\{(CH_2O)_2CH\}C_6H_4\]_2SnMeCl (5)$	110
Sinteza [2-(O=CH)-C ₆ H ₄] ₄ Sn (6)	111

Sinteza [2-(O=CH)-C ₆ H ₄] ₂ SnCl ₂ (7)	112
Sinteza [2-(O=CH)-C ₆ H ₄]SnMe ₂ Cl (8)	113
Sinteza [2-(O=CH)-C ₆ H ₄] ₂ SnMeCl (9)	114
Sinteza [2-{CH=N-2,4,6-(CH ₃) ₃ C ₆ H ₂ }C ₆ H ₄] ₄ Sn (10)	115
Sinteza [2-{CH=NCH ₂ CH ₂ N(CH ₃) ₂ }C ₆ H ₄] ₄ Sn (11)	117
Sinteza [2-(CH=N-CH ₂ -C ₆ H ₅)C ₆ H ₄] ₄ Sn (12)	118
Sinteza [2-(CH=NC ₁₀ H ₇)C ₆ H ₄] ₂ SnCl ₂ (13)	119
Sinteza [2-{CH=N-2,4,6-(CH ₃) ₃ C ₆ H ₂ }C ₆ H ₄] ₂ SnCl ₂ (14)	120
Sinteza [2-{CH=NC ₂ H ₄ N(CH ₃) ₂ }C ₆ H ₄] ₂ SnCl ₂ (15)	121
Sinteza [2-(CH=N-CH ₂ -C ₆ H ₅)C ₆ H ₄] ₂ SnCl ₂ (16)	122
PART 2 Sinteza, caracterizarea structurala, reactivitatea and materials chemistry of tin(II) oxo-clusters and iminotin(II) cubanes	123
2.1. Date de literatura	125
2.1.1. Monoorganotin oxo-clusters	126
2.1.2. Imidotin(II) clusters	132
2.2. Obiective	148
2.3. Contributii originale	150
2.3.A. Tin(II) oxo-clusters	152
2.3.A.1 Sinteza	152
2.3.A.2. Spectroscopie RMN	155
2.3.A.3. Studii de difractie de raze X pe monocrystal	157
2.3.A.4. Spectroscopie IR	160
2.3.A.5. Analiza termogravimetrica	160
2.3.A.6. CVD testing of precursors	162
2.3.B. Imidotin(II) cubanes	167
2.3.B.1 Sinteza	167
2.3.B.2. Spectroscopie RMN	169
2.3.B.3. Studii de difractie de raze X pe monocrystal	175
2.3.B.4. Spectroscopie IR	181
2.3.B.5. Analiza termogravimetrica	182
2.3.B.6. CVD testing of precursors	184
2.4. Concluzii	187
2.5. Partea experimentala	189
Sinteza Sn ₆ O ₄ (OSiMe ₃) ₄ (17)	192
Sinteza Sn ₄ O(OSiMe ₃) ₈ (18)	193
Sinteza Sn ₆ O ₄ (ONep) ₄ (19)	194
Sinteza Sn ₃ (N ^t Bu) ₄ H ₂ (20)	195
Sinteza [Sn ₃ O(N ^t Bu) ₄ H ₂] ₂ (21)	196
Sinteza Sn ₃ (N ^t Bu) ₄ H ₃ Cl PhCH ₃ (22)	197
Sinteza Sn ₃ (N ^t Bu) ₄ H ₃ Cl Sn ₃ (N ^t Bu) ₄ H ₂ [Fe(CO) ₄] ₂ (23)	198
Sinteza (SnN ^t Bu) ₄ [Fe(CO) ₄] ₂ (24)	199
Sinteza [SnNSi(NMe ₂) ₃] ₄ (25)	200

Sinteza $[\text{SnN}(\text{SiNMe}_2)_2]_4[\text{Fe}(\text{CO})_4]$ (26)

201

Anexe

202

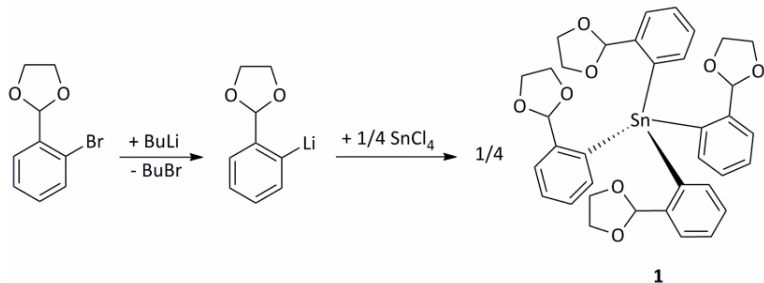
Cuvinte cheie: staniu; sinteza; hipervalent; difractie de raze X; spectroscopie RMN; CVD.

1.3. Contributii originale

1.3.A. Compusi staniu(IV)-organici ce contin fragmentul $2\{(\text{CH}_2\text{O})_2\text{CH}\}\text{C}_6\text{H}_4$

Sintiza compusilor staniu(IV)-organici **1-6** a fost efectuata in conformitate cu schemele de reactie prezentate mai jos. Materia prima, 2-(2-bromofenil)-1,3-dioxolane, a fost obtinuta prin reactia unui echivalent de $2\text{-BrC}_6\text{H}_4\text{CH=O}$ cu un echivalent de $\text{HOCH}_2\text{CH}_2\text{OH}$ in prezenta de $4\text{-MeC}_6\text{H}_4\text{SO}_3\text{H}$ ca si catalizator (sinteza a fost efectuala in acord cu metode de sinteza descrise in literatura, dar au fost utilizati solventi diferiti) pentru a proteja gruparea O=CH- a compusului 2-bromo-benzaldehyde.⁸³

Compusii au fost sintetizati folosind doua metode, prin folosirea compusului o-litiat si a reactivului Grignard al compusului 2-(2-bromofenil)-1,3-dioxolane. S-a observat ca pentru sinteza compusului **1** s-au obtinut randamente mai mari si compusi de o puritate mai mare folosind compusul o-litiat ca si materie prima, in timp ce pentru compusii **2**, **3**, **4** si **5** s-au obtinut rezultate mai bune folosind reactivul Grignard ca si materie prima.

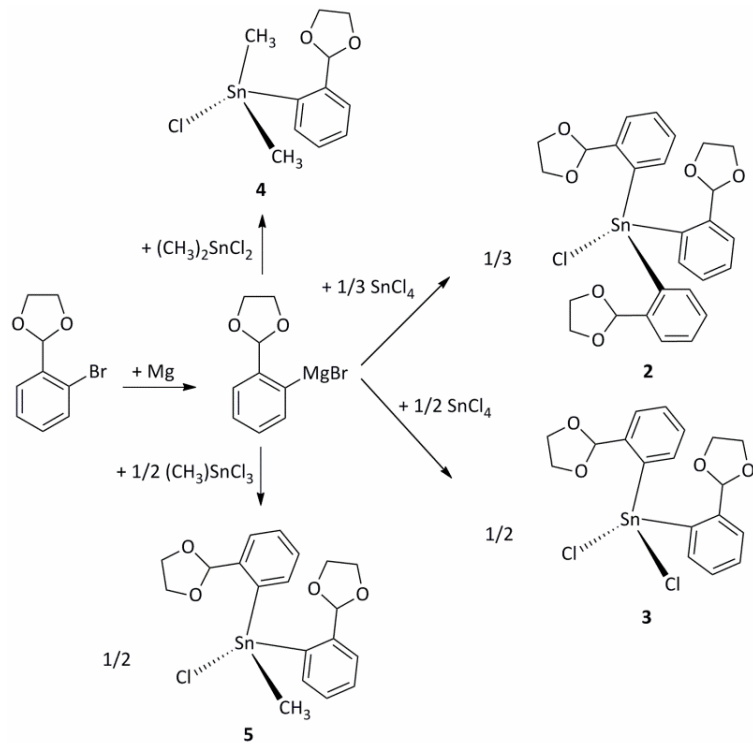


Schema 15

Litiera compusului protejat al 2-bromobenzaldehydei cu BuLi, in atmosfera inerta, in hexan uscat, intr-un raport molar de 1:1, a dus la formarea derivatului *o*-litiat care a fost folosit mai departe in reactii cu SnCl_4 . Compusul **1** a fost obtinut prin reactia unui echivalent-gram de compus *o*-litiat cu SnCl_4 , la temperatura camerei in atmosfera inerta, intr-un raport molar de 4:1 (Schema 15).

Compusii staniu(IV)-organici **2**, **3**, **4** si **5** au fost preparati folosind reactivul Grignard obtinut prin reactia 2-(2-bromofenil)-1,3-dioxolane cu magneziu in atmosfera inerta, in Et_2O uscat. Reaktivul Grignard astfel obtinut a fost reactionat mai departe cu SnCl_4 , la temperatura camerei in atmosfera inerta intr-un raport molar de 3:1 pentru a obtine compusul **2**, in timp ce compusul **3** a fost obtinut la -78°C in atmosfera inerta prin reactia reactivului Grignard cu SnCl_4 in raport molar de 2:1. Compusul **4** a fost obtinut prin reactia unui echivalent-gram al reactivului Grignard cu un echivalent-gram de $(\text{CH}_3)_2\text{SnCl}_2$ la -78°C in atmosfera inerta, in timp

ce compusul **5** a fost sintetizat la temperatura camerei in atmosfera inerta prin reactia reactivului Grignard cu $(CH_3)_3SnCl_3$ intr-un raport molar de 2:1 (Scheme 16).



Schema 16

Spectrul 1H RMN al compusului **1** a fost masurat in $CDCl_3$ si prezinta in zona alifatica un multiplet ce corespunde protonilo H_8 si un singlet ce corespunde protonilor H_7 ai inelului 1,3-dioxal. Zona aromatica prezinta rezonantele asteptate, doua triplete pentru protonii H_4 si H_5 si doua dublete pentru protonii H_3 si H_6 (Figure 13).

Spectrele 1H RMN ale compusilor **2** si **3** au fost masurate si comparate cu spectrul 1H RMN al compusului **1**: in zona alifatica, semnalul pentru protonii H_8 apare ca si un multiplet in spectrul 1H RMN al compusului **2** in timp ce in spectrul 1H RMN al compusului **3** acesta apare ca si un singlet. Un singlet poate fi observat in ambele spectre 1H RMN ale compusilor **2** si **3** pentru atomii H_7 ai ciclului 1,3-dioxal. In zona aromatica a spectrului 1H RMN al compusului **2**, pot fi observate un multiplet corespunzator semnalelor pentru protonii H_4 si H_5 impreuna cu doua dublete pentru protonii H_3 si H_6 iar in spectrul 1H RMN al compusului **3** pot fi observate un multiplet pentru rezonantele protonilor H_3 , H_4 si H_5 si un dublet pentru protonii H_6 . In spectrele 1H RMN ale compusilor **2** si **3**, semnalele sunt deplasate spre valori mai mari ale deplasilor chimice in comparative cu spectrul 1H RMN al compusului **1**, datorita faptului ca in compusii **2** si **3** atomul de staniu este legat de 1 sau 2 atomi de clor care sunt mai electronegative decat atomul de carbonal gruparii 2-fenil-1,3-dioxolan.

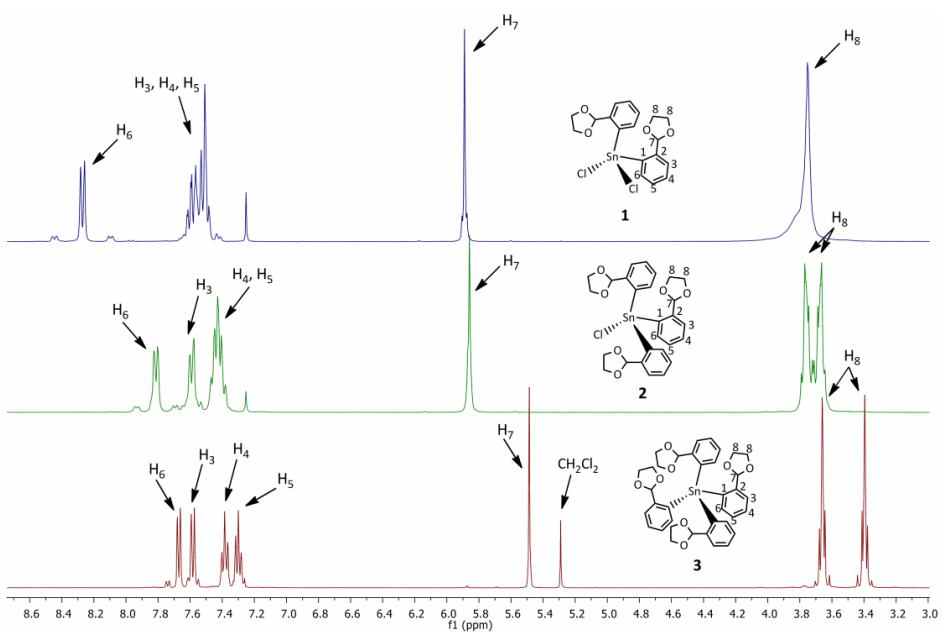


Figura 13. Spectrele ^1H RMN suprapuse (CDCl_3 , 300.1 MHz) pentru complecsii **1** (rosu), **2** (verde) si **3** (albastru)

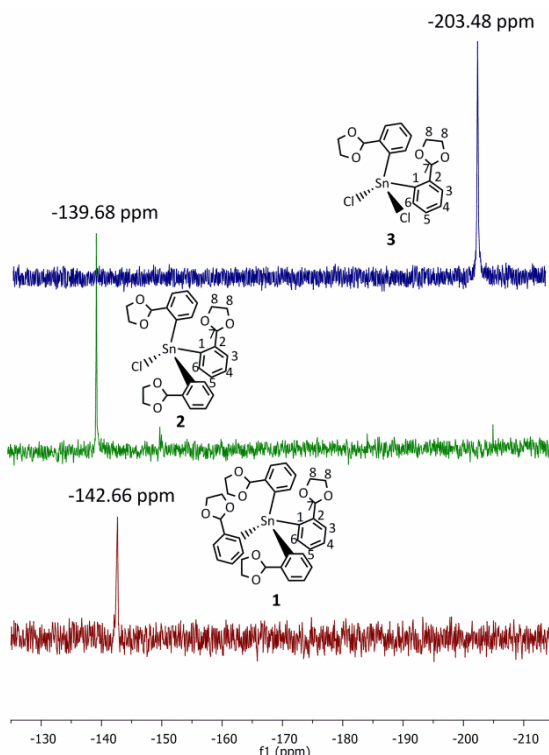


Figure 15. Spectrele ^{119}Sn RMN (CDCl_3 , 111.9 MHz) pentru complecsii **1** (rosu), **2** (verde) si **3** (albastru)

Spectrul ^{119}Sn RMN al compusului **1** a fost comparat cu date din literatura.⁸⁴ Diferenta mica in deplasarea chimica a semnalului de rezonanta al atomului de staniu (-142.66 ppm pentru compusul **1** si -126.5 ppm pentru compusul *p*-substituit) denota ca atomul de staniu este tetracoordonat in solutie in compusul **1**. Spectrul ^{119}Sn RMN al compusului **2** prezinta un semnal de rezonanta la -139.68 ppm pentru atomul de staniu, deplasarea chimica reflectand un mediu asemanator atomului de staniu din compusul **1**. Aceasta deplasare chimica diferita a rezonantei pentru atomul de staniu, este datorata inlocuirii unui ligand organic cu un atom de clor si a cresterii aciditatii Lewis la atomul de staniu. O deplasare chimica mai accentuate a fost observata pentru compusul **3**. Un semnal de rezonanta la -203.48 ppm in spectrul de ^{119}Sn RMN sugereaza ca atomul de staniu este hexacoordonat in solutie. Aceasta concluzie este sustinuta de perechea de sateliti de staniu ($^2J_{\text{SnH}}$ 9.1 MHz) observati pentru semnalul de rezonanta al prononilor H₇ din spectrul ^1H RMN (Figure 15).

Spectrul ^1H RMN al compusilor [2- $\{(CH_2O)_2CH\}C_6H_4\]SnMe₂Cl (**4**) si [2- $\{(CH_2O)_2CH\}C_6H_4\]_2SnMeCl (**5**) contin in zona alifatica un singlet pentru gruparea metal legata de staniu cu perechea de sateliti de staniu corespunzatoare (0.78 ppm cu $^2J_{\text{SnH}}$ 64/67 Hz pentru compusul **4** si 0.99 ppm cu $^2J_{\text{SnH}}$ 68.5 Hz pentru compusul **5**) si un singlet pentru protonii H₇ ai nucleului 1,3-dioxal (5.88 ppm cu $^4J_{\text{SnH}}$ 7.9 Hz pentru compusul **4** si 5.87 ppm cu $^4J_{\text{SnH}}$ 7 Hz pentru compusul **5**). Semnalul de rezonanta characteristic protonilor H₈ apare in spectrul ^1H RMN al compusului **4** ca si un singlet la 4.10 ppm in timp ce in spectrul ^1H RMN al compusului **5** apare ca si un multiplet datorita sistemului AA'XX'. In zona aromatica a spectrului ^1H RMN al compusului **4**, semnalul de rezonanta characteristic protonilor H₃, H₄ si H₅ ai nucleului aromatic sunt suprapuse si apar ca si un multiplet in timp ce semnalul de rezonanta characteristic protonilor H₆ apare ca si un dublet. In zona aromatica a spectrului ^1H RMN al compusului **5**, se observa doua seturi de rezonante pentru zona aromatica. Acest fapt sugereaza ca cele doua grupari organice nu sunt echivalente. Neechivalenta este atribuita prezentei unei legaturi O \rightarrow Sn intramoleculare prezente in solutie (Figure 18).$$

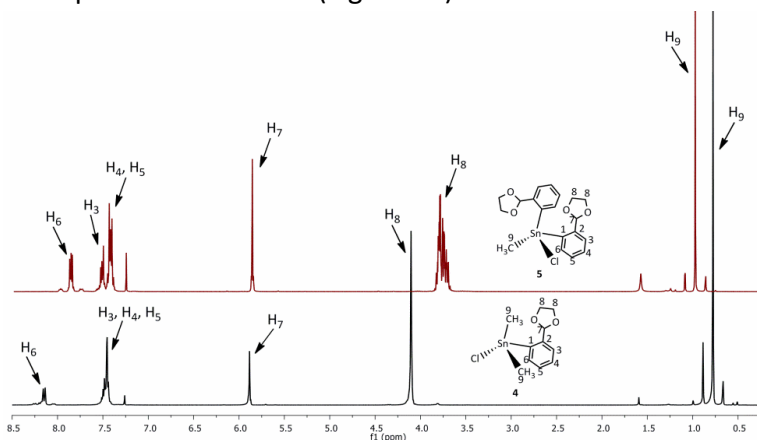


Figure 18. Spectre ^1H RMN (CDCl_3 , 300.1 MHz) ale compusilor $[2-\{(CH_2O)_2CH\}C_6H_4\]SnMe₂Cl$ (**4**) (negru) si $[2-\{(CH_2O)_2CH\}C_6H_4\]_2SnMeCl$ (**5**) (rosu)

Monocristale potrivite pentru studii de difractie X au fost obtinute din difuzia hexanului in solutii de CH_2Cl_2 ale compusilor **1**, **2**, **3** si **5**, respectiv hexan pentru compusul **4**.

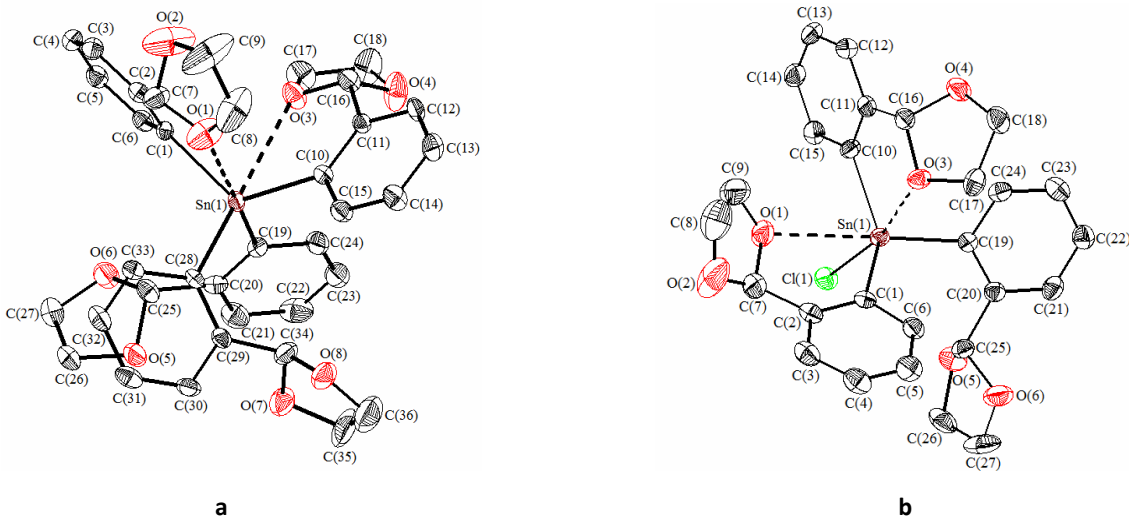


Figure 21. Reprezentare ORTEP a structurii moleculare a compusului **1** (a) si **2** (b) prezentand 30% delocalizare elipsoidala si schema de numerotare

Structurile moleculare ale compusilor **1-3** prezinta unele asemanari: *i)* in toate casurile aromul de staniu prezinta o geometrie de coordinare de tetrahedru bicapped distortional, distorsia fiind cauzata de coordonarea intramoleculara a atomului de oxigen al gruparii organice si datorita impedimentelor sterice, *ii)* doi sunt coordonati intramolecular centrul metalic, rezultand in specii staniu(IV)-organice care au un numar de coorsinare marit de la patru la sase, *iii)* toti compusii sunt specii hipervalente 12-Sn-6 species, nomenclatura sistemului N-X-L a fost descrisa in literatura: numarul de electroni, N, in stratul de valenta al unui atom centra X cu L liganzi legati de el.

Structura moleculara a compusului **5** cu schema de numeratore este prezentata in Figura 29.

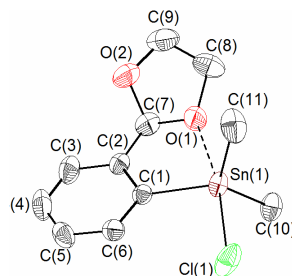


Figure 29. Reprezentare ORTEP a structurii moleculare a compusului $[2-\{(CH_2O)_2CH\}C_6H_4]SnMe_2Cl$ (**4**) prezentand 30% delocalizare elipsoidala si schema de numerotare

In compusul **4**, atomul de staniu este pentacoordinat cu o geometrie de bipiramida trigonală distorsionată, datorita legaturilor O \rightarrow Sn intramoleculare puternice. Datorita coordinarii atomului O(1) la atomul de staniu, carbonul C(7) se comportă ca și un centru chiral, ambii izomeri R_{C(7)} și S_{C(7)} fiind prezenti în cristal.

Structura moleculară a compusului **5** cu schema de numerotare este arătată în Figura 31a. Structura moleculară a compusului **5** conține un atom de staniu hexacoordonat având o geometrie tetraedrică bicapped distorsionată datorită a două interacțiuni O \rightarrow Sn intramoleculare puternice [Sn(1) \cdots O(1) 2.60(2) Å și Sn(1) \cdots O(3) 2.86(3) Å]. Valoarea unghiurilor din jurul atomului de staniu se află între valorile 99.5(9)-133.7(1) $^{\circ}$. Cea mai evidentă deviație de la valoarea ideală de 109.23 $^{\circ}$ este observată pentru C(1)-Sn(1)-C(10) de 133.7(1) $^{\circ}$. Aceasta deviație este cauzată de poziția celor două interacțiuni intramoleculare între atomii de oxigen care interacționează cu atomul de staniu aflati în poziție *trans* față de atomii de clor, determinând o deschidere de unghi (Figura 31b).

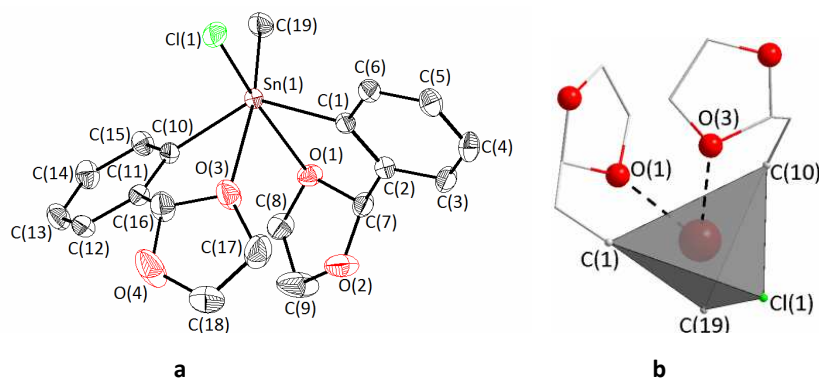
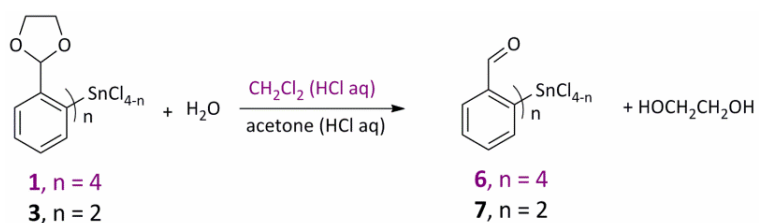


Figure 31. Reprezentare ORTEP a structurii moleculare a compusului $[2-\{(CH_2O)_2CH\}C_6H_4]_2SnMeCl$ (**5**) prezentând 30% delocalizare elipsoidala și schema de numerotare (**a**) și reprezentare a tetraedrului bicapped (C_2O_2)₂SnCCl core (**b**)

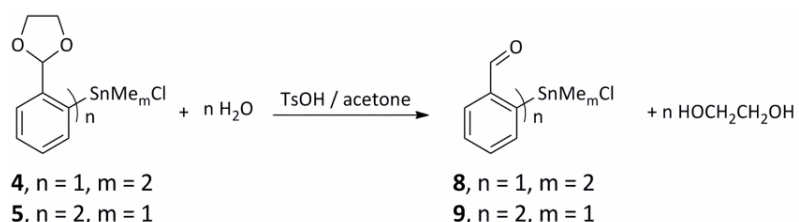
1.3.B. Compusi staniu(IV)-organici ce contin fragmentul 2-(O=CH)-C₆H₄

Compusii $[2-(O=CH)-C_6H_4]_4Sn$ (**6**), $[2-(O=CH)-C_6H_4]_2SnCl_2$ (**7**), $[2-(O=CH)-C_6H_4]SnMe_2Cl$ (**8**) și $[2-(O=CH)-C_6H_4]_2SnMeCl$ (**9**) au fost preparați prin deprotojarea grupării carbonil a fragmentelor organice ale compusilor $[2-\{(CH_2O)_2CH\}C_6H_4]_4Sn$ (**1**), $[2-\{(CH_2O)_2CH\}C_6H_4]_2SnCl_2$ (**3**), $[2-\{(CH_2O)_2CH\}C_6H_4]SnMe_2Cl$ (**4**) și $[2-\{(CH_2O)_2CH\}C_6H_4]_2SnMeCl$ (**5**) folosind metode modificate de sinteza existente în literatură pentru compusi ce contin mercur și seleniu.^{16,89}



Schema 17

Inlaturarea gruparii acetal a fost realizata prin hidroliza in CH_2Cl_2 pentru compusul **6** si in solvenți polari precum acetona pentru compusul **7** folosind a solutie apoasa de HCl ca si catalizator. Amestecul de reactia a fost incalzit pan ace intreaga cantitate de CH_2Cl_2 si acetone s-a evaporat iar compusii **6** si **7** au precipitat ca si solide albe (Schema 17).



Schema 19

Solutii de acetona ale compusilor **4** si **5** au fost tratate cu acid *p*-toluen sulfonic ca si catalizator pentru a inlaruta gruparea protectoare si pentru a obtine compusii **8** si **9**. catalyst in order to remove the protecting acetal group and obtain compounds **8** and **9**, respectively. Reactiile au fost realizate la temperatură camerei (Schema 19).

Compusii **6-9** au fost folositi fara purificari ulterioare. Comparand metodele de sinteza folosite pentru obtinerea compusilor **6-9** cu procedurile descrise in literatura s-a observat obtinerea unor randamente mai bune. Mai mult, purificarea utilizant chromatografie pe oxid de aluminiu, recristalizarea sau refluxul indelungat au fost evitate.^{16,22}

Spectrele ^1H si ^{13}C RMN sunt utile pentru a monitoriza formarea compusilor **6-9** prin indepartarea protectiei gruparii acetal a compusilor **1-5**. formarea gruparii aldehida este realizata cand atomii de carboni corespunzatori isi schimba hibridizarea de la sp^3 (gruparea acetal) la sp^2 (gruparea aldehida). Aceasta schimbare are un mare efect asupra valorilor deplasarilor chimice a atomilor de carbon aldehidici precum si asupra atomilor de hydrogen care apar dezacranati comparativ cu materia prima.

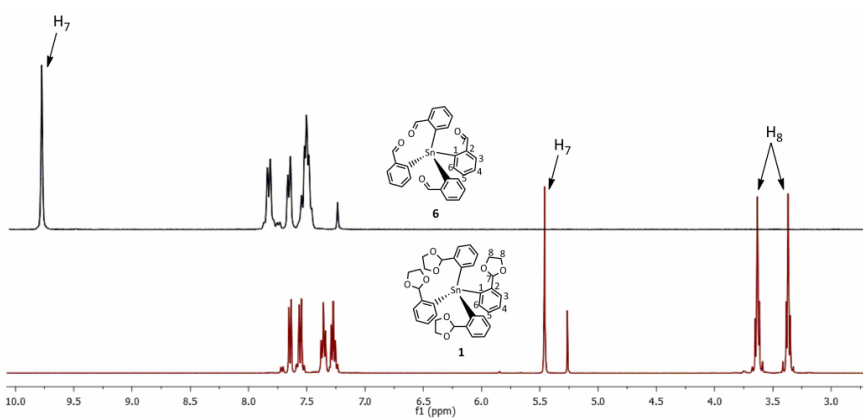


Figura 33. Spectrele ^1H RMN (CDCl_3 , 300.1 MHz) pentru complexii **1** (rosu) si **6** (negru)

Regiunea aromatica a spectrului ^1H RMN a compusului **6** prezinta un semnal de rezonanta multiplet care corespunde protonilor H_5 si H_4 , un semnal de rezonanta dublet pentru atomii de hydrogen H_6 inconjurate de satelitii de staniu ($^4J_{\text{SnH}}$ 51.2/53 Hz), semnalele putand fi observate la o deplasare chimica de 7.67 ppm, precum si un semnal de rezonanta dublet pentru H_3 at 7.85 ppm inconjurat de satelitii de staniu ($^3J_{\text{SnH}}$ 24.4 Hz). Ultimul semnal, de rezonanta singlet este corespunzator protonilor H_7 din gruparea aldehida. In spectrul ^{13}C RMN se pot observa toate semnale asteptate, sase semnale de rezonanta singlet corespunzatoare celor sase atomi de carbon ai nucleului aromatic si un semnal de rezonanta singlet corespunzator atomului de carbon din gruparea aldehida (Figura 33).

Comparand spectrul ^1H RMN al compusului **6** cu spectrul ^1H RMN al compusului **1**, se poate observa ca semnalul de rezonanta multiplet corespunzator atomilor de hydrogen din cele doua grupari $-\text{CH}_2-$ de la 1,3-dioxal din compusul **1** dispare in cazul compusului **6**. Formarea gruparii aldehida are un mare efect asupra deplasarilor chimice atomii de hidrogen si carbon corespunzatori, datorita schimbarii hibridizarii atomilor de carbon de sp^3 la sp^2 . In plus, valoarea deplasarii chimice a gruparii acetal in cazul compusului **1** este la 5.49 ppm in timp ce in cazul compusului **6** este deplasata la 9.80 ppm (Figura 31). Acelasi efect poate fi observat si in cazul spectrului ^{13}C RMN (104.17 ppm in compusul **1**, respectiv 193.53 ppm in compusul **6** (Figura 34).

Semnalul de rezonanta ^{119}Sn in cazul compusului **6** nu poate fi observat la temperature camerei. Semnalul de rezonanta este extrem de larg si nu este vizibil in determinarea directa a ^{119}Sn datorita relaxarii quadropolare rapide a nucleilor ^{17}O prezente in directa vecinata a atomilor de staniu.⁹⁰ Inregistrarea spectrului de ^{119}Sn RMN la temperatura scazuta face posibila observarea unui semnal de rezonanta singlet la -129.20 ppm. Relaxarea incetinita a nucleilor ^{17}O determinate de temperatura scazuta permite observarea semnalului de rezonanta pentru ^{119}Sn (Figura 35).

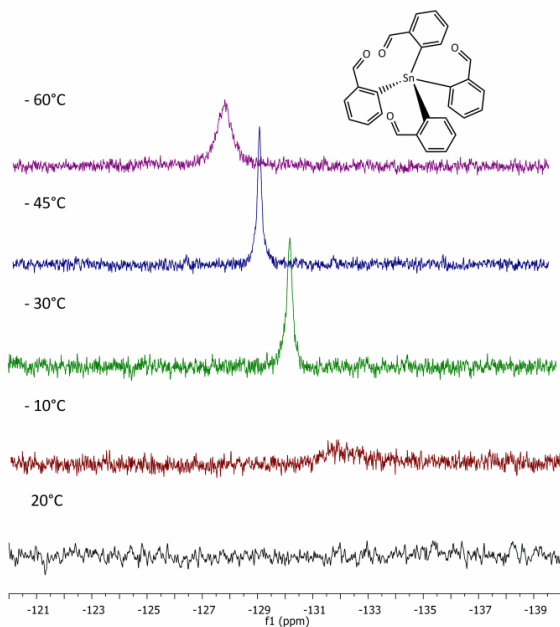


Figura 35. Spectrul ^{119}Sn RMN (CDCl_3 , 111.9 MHz) la temperatura variabila a compusului **6**

Unitatea moleculara a compusului **6** prezinta un centru metalic coordinat de atomii de oxigen ai fragmentelor benzaldehida (Figura 41a), cu o valoare medie a distantei $\text{O} \rightarrow \text{Sn}$ de 3.01 Å, $\Sigma r_{\text{vdW}}(\text{Sn}, \text{O}) = 3.7$ Å, $\Sigma r_{\text{cov}}(\text{Sn}, \text{O}) = 2.13$ Å. Geometria de coordinare a atomului de staniu este de tetraedru tetra-“capped” cu toti patru atomii de oxigen de la cele patru grupari organice coordinati la atomul de staniu (Figura 41b), rezultand astfel o specie hipervalenta 16-Sn-8.

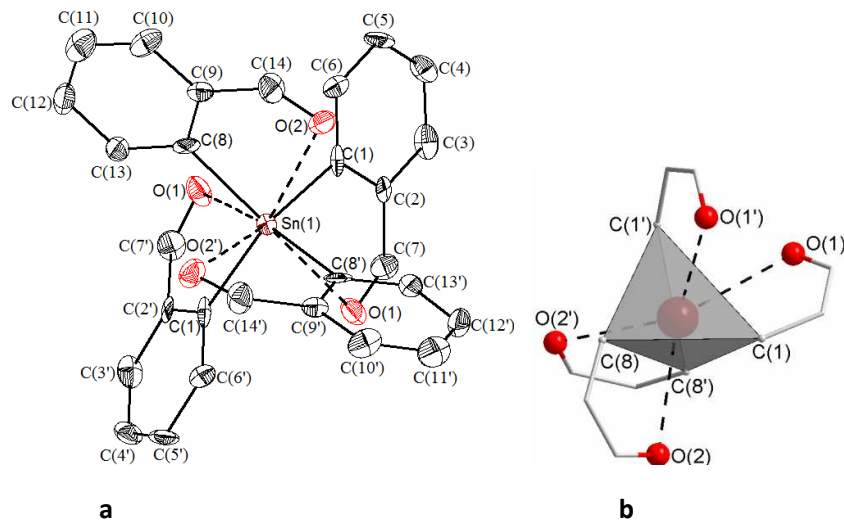


Figura 41. Reprezentarea ORTEP a structurii moleculare a compusului $[2-(\text{O}=\text{CH})-\text{C}_6\text{H}_4]_4\text{Sn}$ (**6**) prezentand 30% delocalizare elipsoidala si schema de numerotare (a) vedre a tetraedrului bi-“capped” cu centru $(\text{C}, \text{O})_4\text{Sn}$ (b)

Compusul **6** este primul exemplu de compus tetraorganostaniu(IV) octacoordinat. Coordinarea este obtinuta utilizand gruparile benzaldehida ca si ligand cu brat pendant. Compusii de staniu(IV) octacoordinati raportati anterior⁹² au fost obtinuti utilizand liganzi anorganici pentru a creste numarul de cordinare la centrul metalic.

In molecule compusului **7** (Figure 43a) precum si in molecule compusului **9** (Figura 43b), ambele grupari benzaldehida actioneaza ca si liganzi chelati, avand atomii de oxigen coordinati la centrul de staniu [$\text{Sn}(1)\cdots\text{O}(1) = 2.4(7)$ Å, $\text{Sn}(1)\cdots\text{O}(2) = 2.5(7)$ Å in compusul **7** si $\text{Sn}(1)\cdots\text{O}(1) = 2.54(4)$ Å, $\text{Sn}(1)\cdots\text{O}(2) = 2.87(4)$ Å in compusul **9**]. Interactiunea $\text{O}\rightarrow\text{Sn}$ este mai puternica comparativ cu compusul **6**, datorita scaderii impedimentelor sterice datorate liganzilor.

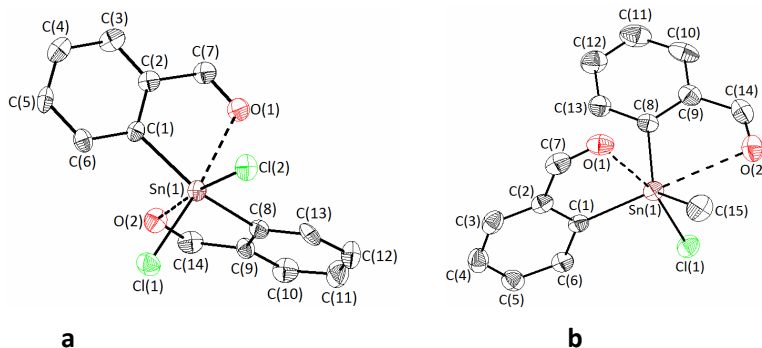
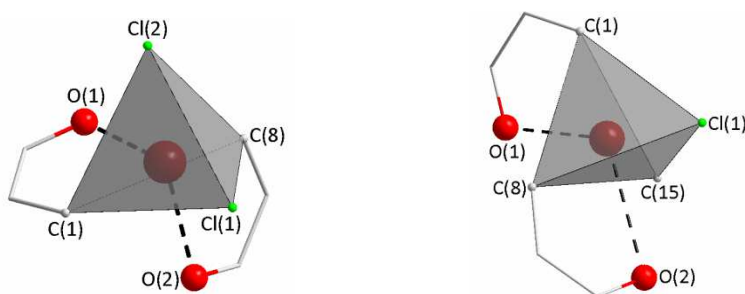


Figure 43. Reprezentarea ORTEP a structurii moleculare a compusilor $[2-(\text{O}=\text{CH})-\text{C}_6\text{H}_4]_2\text{SnCl}_2$ (**7**) (a) si $[2-(\text{O}=\text{CH})-\text{C}_6\text{H}_4]_2\text{SnMeCl}$ (**9**) prezentand 30% delocalizare elipsoidala si schema de numerotare (b)

Geometria de coordinare in jurul atomului de staniu in cazul compusilor **7** si **9** (Figura 44) este de tetraedru distorsionat bi-“capped”. La fel ca si in cazul compusului **3**, unghiul $\text{C}(1)-\text{Sn}(1)-\text{C}(8)$ cu o valoare de $143.9(4)^\circ$ prezinta o puternica deviere de la valoarea ideală de 109.23° datorita celor doi atomi de oxigen coordinati intramolecular. Ciclul format din cinci atomi SnC_3O in cazul compusului **7** este aproape planar, cu unghiurile diedre $\text{Sn}(1)\text{C}(1)\text{C}(2)\text{C}(7)/\text{Sn}(1)\text{C}(7)\text{O}(1)$ la 0.63° si $\text{Sn}(1)\text{C}(8)\text{C}(9)\text{C}(14)/\text{Sn}(1)\text{C}(14)\text{O}(2)$ la 1.4° . Atomii de oxigen sunt in afara planului ideal cu $\text{O}(1)$ 0.02 Å, respectiv $\text{O}(2)$ 0.016 Å. Compusul **9** prezinta similaritati ale unghiului diedru cu unghiul $\text{Sn}(1)\text{C}(1)\text{C}(2)\text{C}(7)/\text{Sn}(1)\text{C}(7)\text{O}(1)$ din compusul **3**, cu un unghi diedru $\text{Sn}(1)\text{C}(8)\text{C}(9)\text{C}(14)/\text{Sn}(1)\text{C}(14)\text{O}(2)$ la 0.85° , in timp ce atomii de oxigen sunt plasati cu $\text{O}(1)$ 0.05 Å si $\text{O}(2)$ 0.02 Å in afara planului ideal format de restul de atomi, rezultand astfel ciclul planar SnC_3O .

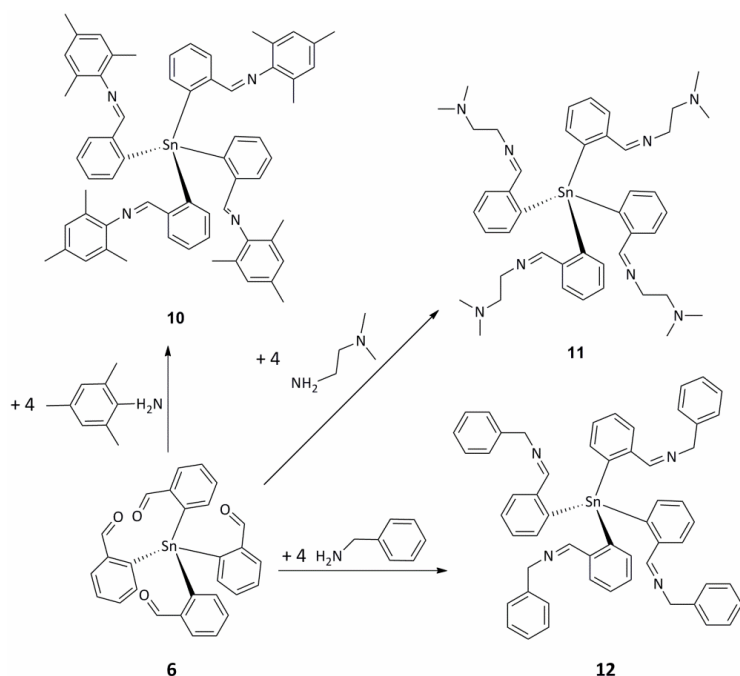


a**b**

Figure 44. Vedere a tetraedrului bi-“capped” cu centru $(C_6H_5O)_2SnCl_2$ core a compusului **7** (a) si cu centru $(C_6H_5O)_2SnCCl$ pentru compusul **9** (b)

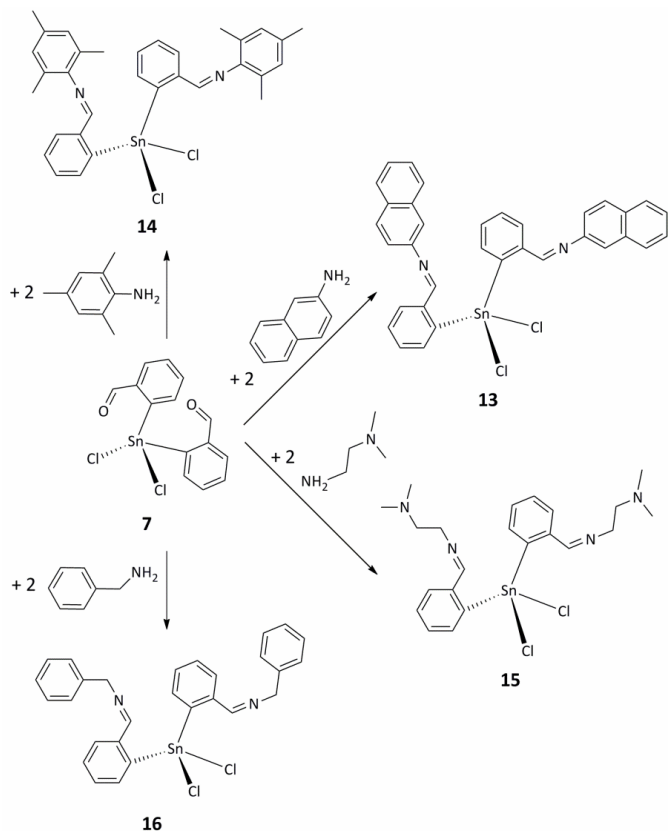
1.3.C. Compusi staniu(IV)- organici ce contin o legatura $-C=N-$

Compusii **10-16** au fost preparati prin reactia de condensare intre compusii staniu(IV)-organici ce contin gruparea $2-(O=CH)-C_6H_4$ si diferite amine in rapoarte molare corespunzatoare.



Schema 20

Reactiile de condensare pentru sinteza compusilor **10-12** au fost realizate mai intai in prezenta de solvent, catalizator si conditii de reflux, pentru a obtine randamente bune dupa un timp de reactie indelungat (Schema 20). Reactiile de condensare pentru compusii **11** si **12** au fost realizate in toluen la reflux, folosind TsOH ca si catalizator si Na_2SO_4 anhidru pentru a intaluta apa din mediul de reacite. Pentru compusul **10**, reactia in toluene la reflux, folosind Na_2SO_4 anhidru, in prezenta sa absenta de TsOH ca si catalizator, nu a dus la obtinerea compusului dorit. Materia prima folosita, $[2-(O=CH)-C_6H_4]_4Sn$ (**6**), a fost recuperate cantitativ. Reactia de condensare pentru a obtine compusul **10** a fost realizata in acetonitril, Na_2SO_4 anhidru si fara TsOH ca si catalizator. Compusii **10-12** au precipitat in momentul racirii mediului de reactie.



Schema 21

Aceleasi reactii ca si cele descrise in Schema 20 si reactiile de condensare pentru sinteza compusilor **13-16** au fost realizate prin amestecul reactantilor in rapoarte molare 1:4 si 1:2 fara solvent sau catalizator, doar prin incalzire pana la obtinerea unei topituri limpezi (Scheme 21). Dupa ce temperatura este mentinuta pentru 5 minute, apa rezultata din reactive este inlaturata la pompa de vid. Se obtine o conversie totala a reactantilor in compusii iminici doriti, lucru confirmat de spectrele ^1H RMN ale compusilor neprelucrati. Aceasta metoda de sinteza reprezinta o alternativa green ale metodelor deja desctiuite in literatura de a obtine compusi iminici din aldehida si amine.

Spectrul ^1H RMN al compusului **14** prezinta in zona alifatica trei semnale de rezonanta singlet in raport de intensitate de 1:1:1 corespunzatoare gruparilor metil legate la nucleul aromatic. Zona aromatica prezinta rezonante diferite pentru doi dintre protonii aromatici din nucleul aromatic legat la atomul de azot impreuna cu semnale de rezonanta singlet corespunzatoare atomilor de hidrogen a nucleului aromatic legat la atomul de staniu precum si un semnal de rezonanta singlet pentru protonii H_7 (Figura 48).

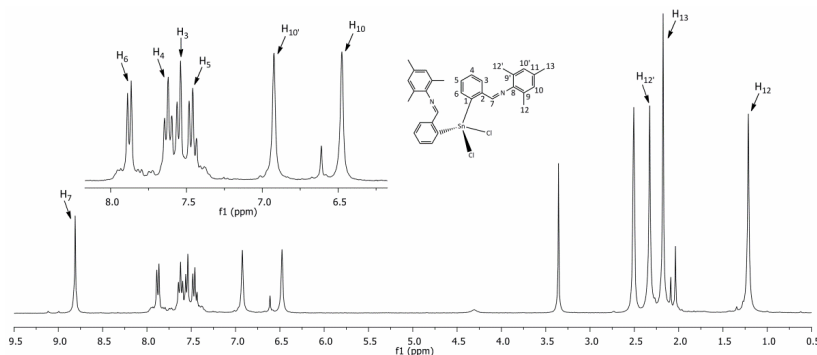


Figure 48. Spectrul ^1H RMN (CDCl_3 , 300.1 MHz) al compusului $[2-\{\text{CH}=\text{N}-2,4,6-(\text{CH}_3)_3\text{C}_6\text{H}_2\}\text{C}_6\text{H}_4]_2\text{SnCl}_2$ (**14**)

Prezenta a trei semnale diferite, in zona alifatica, atat in spectrul ^1H RMN, cat si in cazul spectrului ^{13}C RMN, pentru fiecare grupare metil sugereaza aranjamente diferite a gruparilor metil. Aceste rezultate, impreuna cu valoarea deplasarii chimice a semnalului de rezonanta din spectrul ^{119}Sn RMN (-295.91 ppm), sugereaza ca atomul de staniu, in cazul compusului **14** este hexacoordonat in solutie (Figura 49). Neechivalenta atomilor de proton si carbon din nucleul aromatic legat la atomul de azot este data de interactiunea intramoleculara $\text{N}\rightarrow\text{Sn}$ dintre ligandul organic si atomul de staniu. Aceasta coordinare impiedica rotatia libera in jurul legaturii $\text{N}-\text{C}$.

Spectrul ^1H RMN al compusului **11** prezinta in zona alifatica trei semnale de rezonanta corespunzatoare celor trei tipuri de protoni, doua semnale de rezonanta triplet corespunzatoare protonilor H_8 si H_9 la 2.84 si 1.87 ppm, precum si un semnal de rezonanta singlet pentru protonii H_{10} din gruparile metil la 1.98 ppm. Zona aromatica prezinta toate semnalele de rezonanta asteptate, respectiv un semnal de rezonanta dublet corespunzator protonilor H_6 din gruparea fenil la 7.66 ppm, precum si un semnal de rezonanta singlet pentru protonii H_7 la 8.15 ppm (Figura 50).

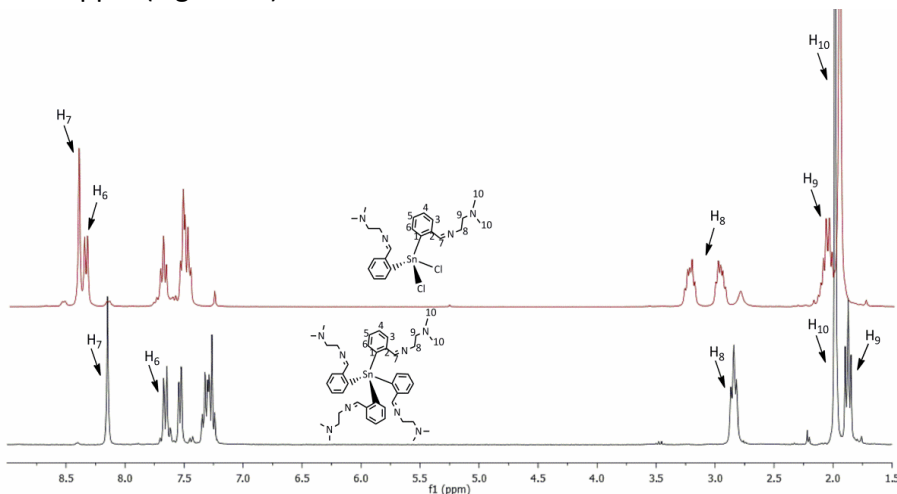


Figure 50. Spectre ^1H RMN suprapuse (CDCl_3 , 300.1 MHz) ale complecsilor $[2-\{\text{CH}=\text{NCH}_2\text{CH}_2\text{N}(\text{CH}_3)_2\}\text{C}_6\text{H}_4]_2\text{Sn}$ (**11**) (negru) si $[2-\{\text{CH}=\text{NC}_2\text{H}_4\text{N}(\text{CH}_3)_2\}\text{C}_6\text{H}_4]_2\text{SnCl}_2$ (**15**) (rosu)

2.3.A.Oxo-clusteri de staniu(II)

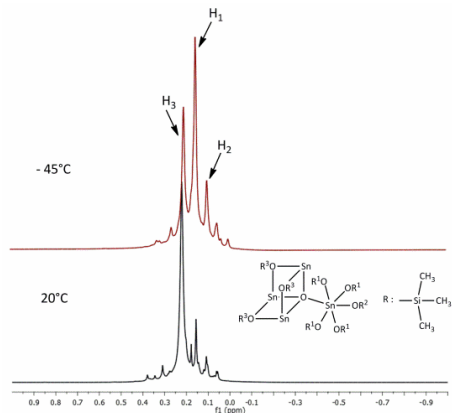


Figure 89. Spectrul ${}^1\text{H}$ RMN (CDCl_3 , 99.35 MHz) la temperatura varabila pentru compusul **18**

Comportamentul in solutie a compusului $\text{Sn}_4\text{O}(\text{OSiMe}_3)_8$ (**18**) a fost studiat prin spectroscopie RMN multinucleara. La temperature camerei in zona alifatica in spectrele ${}^1\text{H}$ si ${}^{13}\text{C}$ RMN a compusului **18** semnale de rezonanta pentru gruparile metil apar largi. Experimentul ${}^1\text{H}$ RMN a fost facut la temperatura scazuta pentru a obtine semnale de rezonanta bine rezolvate (Figura 89).

Structura moleculara a compusului $\text{Sn}_4\text{O}(\text{OSiMe}_3)_8$ (**18**) este prezentata in Figura 93. Compusul **18** formeaza un cluster care contine trei atomi de $\text{Sn}(\text{II})$ si un atom de $\text{Sn}(\text{IV})$. Doi dintre atomii de $\text{Sn}(\text{II})$ sunt pentacoordinati cu o geometrie de coordinare de *pseudo*-octaedru in jurul atomilor de staniu si cu o pozitie libera. Geometria de coordinare de *pseudo*-octaedru in jurul atomilor de staniu este reflectata de valorile unghiurilor de legatura O-Sn-O [$\text{O-Sn}(2)-\text{O}$ $65.9(1)$ - $102.6(1)^{\circ}$ and $\text{O-Sn}(3)-\text{O}$ $58.0(1)$ - $108.7(8)^{\circ}$]. Al treilea atom de $\text{Sn}(\text{II})$ are o geometrie de coordinare de tetraedru distorsionat cu valoarea unghiurilor O-Sn-O situate in intervalul $76.9(2)$ - $99.0(1)^{\circ}$. Toti trei atomii de staniu au doua legaturi covalente cu atomii de oxigen de la gruparile $-\text{OSiMe}_3$, iar atomii $\text{Sn}(2)$ si $\text{Sn}(3)$ prezinta trei interactiuni intramoleculare $\text{O}\rightarrow\text{Sn}$ cu alte trei grupari $-\text{OSiMe}_3$ in timp ce $\text{Sn}(4)$ formeaza doua legaturi intramoleculare $\text{O}\rightarrow\text{Sn}$. In toate cazurile pozitia libera este ocupata de o pereche de electroni.

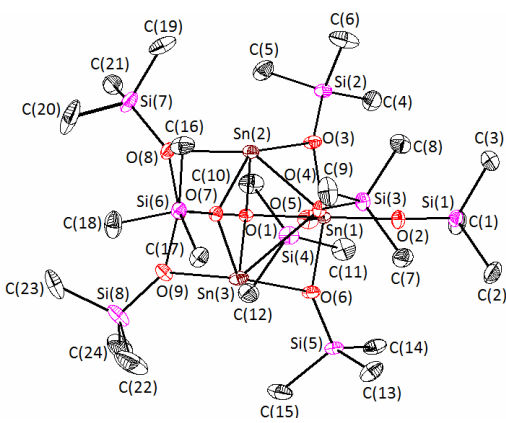


Figure 93. Reprezentarea ORTEP a structurii moleculare pentru $\text{Sn}_4\text{O}(\text{OSiMe}_3)_8$ (**18**) prezentand 30% delocalizare elipsoidala si schema de numerotare

Al patrulea atom de staniu este un ato de staniu(IV). Sn(1) este hexacoordinat cu o geometrie de coordinare de octaedru distorsionat datorita celor doua interacțiuni intramoleculare cu doua grupari $-\text{OSiMe}_3$. Pozitiiile trans sunt ocupate de gruparile $-\text{OSiMe}_3$ care duc la formarea de unghiuri $\text{O-Sn}(1)-\text{O}$ cu valori cuprinse în intervalul $157.2(1)$ - $163.8(2)^\circ$, în timp ce unghiurile cis $\text{O-Sn}(1)-\text{O}$ au valori cuprinse în intervalul $70.2(1)$ - $103.4(2)^\circ$.

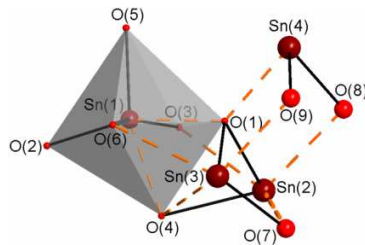


Figure 94. Vedere a geometriei de coordinare octaedrica in jurul atomului de Sn(1) in compusul **18**

Caracterizarea termica a compusilor chimici este importantă pentru a controla procesul reactiei chimice cat si pentru a determina proprietatile materialelor rezultate. Curba termogravimetrica arata schimbarile masei reziduale in raport cu temperatura. Analize termogravimetrice (TGA) au fost facute pentru complecsii **17-19** cu temperatura controlata, in atmosfera de azot.

Incerarile de a obtine filme compuse din Sn_3N_4 in conditiile date au esuat. Nu se obtin depuneri ale precursorului **20** la temperature mai joase de 450°C . La 450°C se obtine un amestec de SnO si staniu metalic (Figure 121).

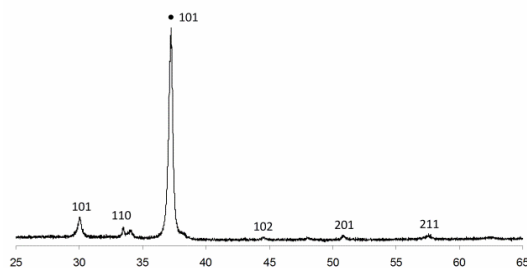


Figure 122. X-ray diffraction pattern of the film deposited on glass using **20** as precursor at a temperature of 450°C, indexation is consistent with mixed tetragonal SnO and tetragonal Sn, lines marked with • correspond to tetragonal Sn

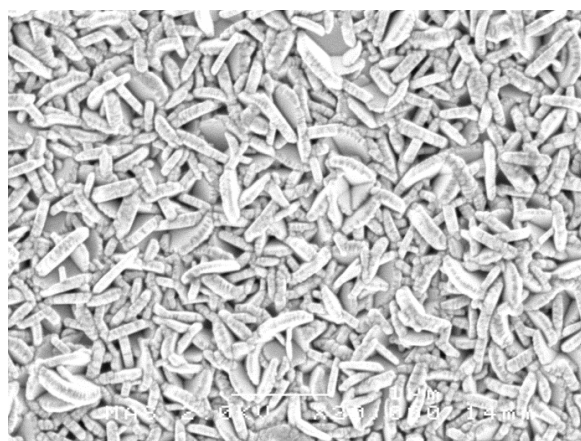


Figure 121. SEM a filmului obtinut din precursorul **20** pe sticla, la 450°C

Cu ajutorul PXRD s-a stabilit formarea unui amestec de SnO tetragonal și Sn metallic tetragonal (Figure 122). Studii similare au fost raportate în literatură.¹⁶¹ Studiile descriează descompunerea Sn₃N₄ în elemente la temperatură de 400°C. Prezența unor mici cantități de SnO în filmul obținut la 450°C pot fi cauzate de mai mulți factori. În timpul depunerii filmului de staniu datorită descompunerii Sn₃N₄, prezența accidentală a oxigenului în reactor poate duce la oxidarea staniului la SnO. O explicație mai larg întâlnită în literatură este faptul că dacă experimentele sunt realizate utilizând N₂ sau Ar ca și gaze transportatoare, se poate obține oxidarea precursorului. Pentru a preveni acest lucru, gazul transportator este imbogătit cu NH₃. Un alt motiv pentru care poate avea loc oxidarea precursorilor este folosirea solventilor pentru a obține soluția de precursor, solventice pot conține H₂O sau O₂.

Din acest moment, prin ridicarea temperaturii, se obțin filme compuse exclusive din staniu metallic (Figure 124). PXRD concluzionează formarea staniului tetragonal iar prezența staniului metallic este confirmată de analize EDX (Figure 123).

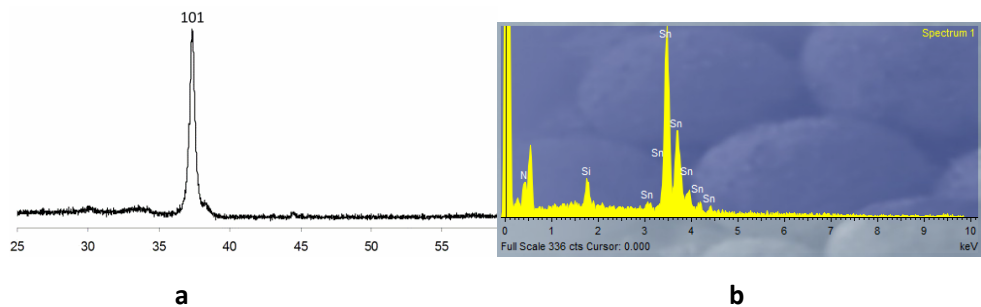


Figure 123. X-ray diffraction pattern of the film deposited on glass using **20** as precursor at a temperature of 500°C, indexation is consistent with tetragonal Sn (a) and the corresponding EDX of the film (b)

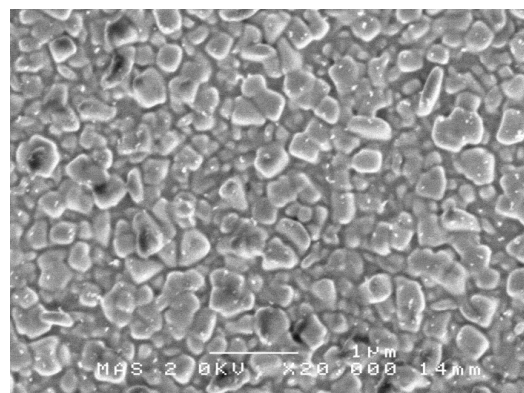


Figure 124. SEM a filmului obtinut din precursorul **20** pe sticla, la 500°C

References

- ¹ C. T. Onions, G. W. S. Friedrichsen, *The Oxford Dictionary of English Etymology*, Oxford, Oxford University Press, **1966**, pp. 925.
- ² W. Chambers, *Chambers Dictionary of Etymology*, Edinburgh, Chambers Harrap Publishers Ltd., **2006**, pp. 490.
- ³ J. Cierny, G. Weisgerber, *The Problem of Early Tin*, Oxford, Archaeopress, **2003**, pp. 23-31.
- ⁴ R. D. Penhallurick, *Tin in Antiquity: its Mining and Trade Throughout the Ancient World with Particular Reference to Cornwall*, London: The Institute of Metals, **1986**, pp. 5.
- ⁵ N. N. Greenwood, A. Earnshaw, *Chemistry of the Elements*, 2nd Ed., Oxford, Butterworth-Heinemann, **1997**, pp. 371-373.
- ⁶ M. J. P. Musgrave, *Proc. Roy. Soc.*, **1963**, 227A, 503.
- ⁷ A. K. De, *A Text Book of Inorganic Chemistry*, 9th Ed., New Delhi, New Age International, **2003**, pp. 375.
- ⁸ E. Frankland, *Q. J. Chem. Soc.*, **1850**, 2, 263.
- ⁹ E. Frankland, *Liebigs Ann. Chem.*, **1849**, 71, 171.
- ¹⁰ C. Löwig, *Liebigs Ann. Chem.*, **1852**, 84, 308.
- ¹¹ C. J. Evans, S. Karpel, *Organotin Compounds in Modern Technology*, Amsterdam, Elsevier, **1985**, pp. 16, 106-110, 202-203.
- ¹² W. Henderson, J. S. McIndoe, *Mass Spectrometry of Inorganic, Coordination and Organometallic Compounds: Tools - Techniques - Tips*, Chichester, John Wiley & Sons, **2005**, pp. 176-178.
- ¹³ J. C. Martins, M. Biesemans, R. Willem, *Prog. Nucl. Magn. Reson. Spectrosc.*, **2000**, 36, 271.
- ¹⁴ (a) J. T. B. H. Jastrzebski, G. van Koten, *Adv. Organomet. Chem.*, **1993**, 35, 241 and references therein. (b) N. Pieper, C. Klaus-Mrestani, M. Schurmann, K. Jurkschat, M. Biesemans, I. Verbruggen, J. C. Martins, R. Willem, *Organometallics*, **1997**, 16, 5486. (c) A. Esparza-Ruiz, A. Pena-Hueso, I. Ramos-Garcia, A. Vasquez-Badillo, A. Flores-Parra, R. Contreras, *J. Organomet. Chem.*, **2009**, 694, 269. (d) R. R. Holmes, *Chem. Rev.*, **1996**, 96, 927. (e) I. Kalikhman, S. Krivonos, D. Stalke, T. Kottke, D. Kost, *Organometallics*, **1997**, 16, 3255. (f) D. Dakternieks, H. Zhu, E. R. T. Tiekkink, *Main Group Met. Chem.*, **2011**, 17, 519.
- ¹⁵ (a) S. S. Al-Deyab, A. M. Al-Hazmi, M. H. El-Newehy, *Molecules*, **2010**, 15, 1784. (b) K. Gholivand, S. Farshadian, Z. Hosseini, K. Khajeh, N. Akbari, *Appl. Organomet. Chem.*, **2010**, 24, 700.
- ¹⁶ (a) W. L. Drew, R. C. Miner, G. I. Marousek, S. Chou, *J. Clin. Virol.*, **2006**, 37, 124. (b) I. Omar, T. M. O'Neill, S. Rossall, *Plant Pathol.*, **2006**, 55, 92. (c) A. Joubert, X.-W. Sun, E. Johansson, C. Bailly, J. Mann, S. Neidle, *Biochem.*, **2003**, 42, 5984. (d) A. V. Dolzhenko, W.-K. Chui, *J. Heterocyclic Chem.*, **2006**, 43, 95. (e) A. V. Dolzhenko, W.-K. Chui, A. V. Dolzhenko, *J. Heterocyclic Chem.*, **2006**, 43, 1513. (f) A. D. Settimo, G. Primofiore, F. D. Settimo, A. M. Marini, S. Taliani, S. Salerno, L. D. Via, *J. Heterocyclic Chem.*, **2003**, 43, 1091.
- ¹⁷ J. Parr, *Comprehensive Coordination Chemistry. From Biology to Nanotechnology*, 2nd Ed., Volume 3, *Comprehensive Coordination Chemistry of s, p and f metals*, Hardbound, Elsevier, **2005**, pp. 545-546.
- ¹⁸ L. Dostal, R. Jambor, A. Ruzicka, I. Cisarova, J. Holecek, M. Biesemans, R. Willem, F. De Proft, P. Geerlings, *Organometallics*, **2007**, 26, 6312.
- ¹⁹ (a) J. Holecek, M. Nadvornik, K. Handlir, A. Lycka, *J. Organomet. Chem.*, **1983**, 241, 177. (b) J. Holecek, M. Nadvornik, K. Handlir, A. Lycka, *Collect. Czech. Chem. Commun.*, **1990**, 55, 1193.
- ²⁰ (a) J. Holecek, M. Nadvornik, K. Handlir, A. Lycka, *Z. Chem.*, **1990**, 30, 265. (b) A. Lycka, J. Holecek, B. Schneider, J. Straka, *J. Organomet. Chem.*, **1990**, 389, 29. (c) V. Pejchal, J. Holecek, A. Lycka, *Sci. Univ. Pap. Pardubice*, **1996**, A2, 35.
- ²¹ H. Handwerker, C. Leis, R. Probst, P. Bassinger, A. Grohmann, P. Kiprof, F. Herdtweek, J. Blumel, N. Auner, C. Zybill, *Organometallics*, **1993**, 12, 2162.
- ²² (a) R. Jambor, L. Dostal, A. Ruzicka, I. Cisarova, J. Brus, M. Holcapek, J. Holecek, *Organometallics*, **2002**, 19, 3996. (b) B. Kasna, R. Jambor, L. Dostal, A. Ruzicka, I. Cisarova, J. Holecek, *Organometallics*, **2004**, 23, 5300. (c) B. Kasna, R. Jambor, L. Dostal, L. Kolarova, I. Cisarova, J. Holecek, *Organometallics*, **2006**, 25, 148. (d) M. Mehring, C. Loew, F. Uhling, M. Schurmann, K. Jurkschat, B. Mahieu, *Organometallics*, **2000**, 19, 4613. (e) M. Mehring, I. Vrasidas, D. Horn, M. Schurmann, K. Jurkschat, *Organometallics*, **2001**, 20, 4647.

- ²³ (a) M. Mehring, C. Loew, M. Schurmann, K. Jurkschat, *Eur. J. Inorg. Chem.*, **1999**, 887. (b) K. Peveling, M. Henn, C. Loew, M. Mehring, M. Schurmann, K. Jurkschat, *Organometallics*, **2004**, 23, 1501, (c) L. Dostal, R. Jambor, A. Ruzicka, A. Lycka, J. Holecek, *Magn. Reson. Chem.*, **2006**, 44, 171.
- ²⁴ V. K. Belsky, A. A. Simonenko, V. O. Reikhsfeld, I. E. Saratov, *J. Organomet. Chem.*, **1983**, 244, 125.
- ²⁵ (a) J. T. B. H. Jasrezebski, P. A. van der Schaaf, J. Boersma, G. van Koten, M. de Wit, Y. D. Wang, Y. D. Heijdenrijk, C. H. Stam, *J. Organomet. Chem.*, **1991**, 407, 301. (b) A. Ruzicka, L. Dostal, R. Jambor, V. Buchta, J. Brus, I. Cisarova, M. Holcapek, J. Holecek, *Appl. Organomet. Chem.*, **2002**, 16, 315.
- ²⁶ L. Pellerito, L. Nagy, *Coord. Chem. Rev.*, **2002**, 224, 111.
- ²⁷ (a) K. Sakamoto, Y. Hamada, H. Akashi, A. Orita, J. Otera, *Organometallics*, **1999**, 18, 3555. (b) S. Durand, K. Sakamoto, T. Fukuyama, A. Orita, J. Otera, A. Duthie, D. Dakternieks, M. Schulte, K. Jurkschat, *Organometallics*, **2000**, 19, 3220.
- ²⁸ J. Holecek, M. Nadvornik, K. Handlir, A. Lycka, *J. Organomet. Chem.*, **1983**, 241, 177.
- ²⁹ G. Socrates, *Infrared Characteristic Group Frequencies*, Wiley-Blackwell, **1980**, pp. 145.
- ³⁰ F. H. Allen, O. Kennard, D. G. Watson, L. Brammer, G. Orpen, R. Taylor, *J. Chem. Soc., Perkin. Trans. 2*, **1987**, 12, S1.
- ³¹ (a) W. H. Knoth, *J. Am. Chem. Soc.*, **1967**, 89, 1274. (b) W. H. Knoth, *Inorg. Chem.*, **1971**, 10, 598. (c) J. Plesek, T. Jelinek, E. Drdakova, S. Hermanek, B. Stibr, *Collect. Czech. Chem. Commun.*, **1984**, 49, 1559.
- ³² (a) M. F. Hawthorne, D. C. Young, T. D. Andrews, V. Howe, R. L. Pilling, A. D. Pitts, M. Reintjes, L. F. Warren, P. A. Wegner, *J. Am. Chem. Soc.*, **1968**, 90, 879. (b) M. F. Hawthorne, T. D. Andrews, P. M. Garrett, F. P. Olsen, M. Reintjes, F. N. Tebbe, L. F. Warren, P. A. Wegner, D. C. Young, *Inorg. Synth.*, **1967**, 10, 91.
- ³³ (a) C. A. Reed, *Acc. Chem. Res.*, **1998**, 31, 133. (b) S. H. Strauss, *Chem. Rev.*, **1993**, 93, 927.
- ³⁴ K. Shelly, D. C. Finster, Y. J. Lee, W. R. Sheidt, C. A. Reed, *J. Am. Chem. Soc.*, **1985**, 107, 5955.
- ³⁵ A. Zalkin, T. E. Hopkins, D. H. Templeton, *Inorg. Chem.*, **1967**, 6, 1911.
- ³⁶ (a) Book of Abstracts OP38, XVth FECHEM Conference on Organometallic Chemistry, Zurich (Switzerland), 10th-15th August 2003. (b) Book of Abstracts O54, 11th International Conference on the Coordination and Organometallic Chemistry of Germanium, Tin, and Lead (ICCOC-GTL-11), Santa Fe (New Mexico, USA), 27th June-2nd July 2004.
- ³⁷ M. Mehring, C. Low, M. Schurmann, F. Uhling, K. Jurkschat, *Organometallics*, **2000**, 19, 4613.
- ³⁸ M. Henn, *Ph.D. Thesis*, Dortmund University, **2004**.
- ³⁹ B. Kasna, R. Jambor, M. Schurman, K. Jurkschat, *J. Organomet. Chem.*, **2008**, 693, 3446.
- ⁴⁰ (a) N. S Narasimhan, R. S. Mali, *Synthesis*, **1983**, 964. (b) V. Snieckus, *Chem. Rev.*, **1990**, 6, 879. (c) P. Beak, S. T. Kerrick, D. J. Gallagher, *J. Am. Chem. Soc.*, **1993**, 113, 10628. (d) T. Kremer, M. Junge, P. v. R. Schleyer, *Organometallics*, **1996**, 15, 3345. (d) J. Belzner, D. Schar, U. Dehnert, M. Noltemeyer, *Organometallics*, **1997**, 16, 285.
- ⁴¹ M. Mehring, M. Schurmann, K. Jurkschat, *Organometallics*, **1998**, 17, 1227.
- ⁴² D. Dakternieks, K. Jurkschat, H. Zhu, E. R. T. Tiekkink, *Organometallics*, **1995**, 14, 2512.
- ⁴³ C. D. Schaeffer, S. E. Ulrich, J. J. Zuckerman, *Inorg. Chem. Lett.*, **1978**, 14, 55.
- ⁴⁴ J. Holecek, M. Nadvornik, K. Handlir, A. Lycka, *J. Organomet. Chem.*, **1983**, 241, 177.
- ⁴⁵ B. Mathiasch, *Org. Magn. Reson.*, **1981**, 17, 296.
- ⁴⁶ S. Dostal, S. J. Stoudt, P. Fanwick, W. F. Sereatan, B. Kahr, J. E. Jackson, *Organometallics*, **1993**, 12, 2284.
- ⁴⁷ J. T. B. H. Jastrzebski, J. Boersma, P. M. Esch, G. van Koten, *Organometallics*, **1991**, 10, 930.
- ⁴⁸ U. Kolb, M. Drager, B. Jousseau, *Organometallics* **1991**, 10, 2737.
- ⁴⁹ (a) A. V. Yatsenko, S. V. Medvedev, L. A. Aslanov, *Zh. Strukt. Khim.*, **1992**, 33, 126. (b) H. Reuter, H. Puff, *J. Organomet. Chem.*, **1992**, 424, 23.
- ⁵⁰ (a) F. Richter, H. Weichmann, *J. Organomet. Chem.*, **1994**, 466, 77. (b) R. W. Deemie, J. C. Fettinger, D. A. Knight, *J. Organomet. Chem.*, **1997**, 538, 257.
- ⁵¹ P. G. Harrison, *Chemistry of Tin*, London, Ed. P. G. Harrison, Blackie, **1989**, pp. 10.
- ⁵² (a) C. Drost, P. B. Hitchcock, M. F. Lamppert, L. J.-M. Piessens, *J. Chem. Soc., Chem. Commun.*, **1997**, 1141. (b) W.-P. Leung, W.-H. Kwok, F. Xue, T. C. W. Mak, *J. Am. Chem. Soc.*, **1997**, 119, 1145.
- ⁵³ P. Svec, Z. Padelkova, A. Ruzicka, T. Weidlich, L. Dusek, L. Plasseraud, *J. Organomet. Chem.*, **2011**, 696, 676.
- ⁵⁴ P. Svec, Z. Padelkova, P. Stepnicka, A. Ruzicka, J. Holecek, *J. Organomet. Chem.*, **2011**, 696, 1809.
- ⁵⁵ P. Stepnicka, I. Cisarova, A. Ruzicka, *J. Organomet. Chem.*, **2010**, 695, 271.
- ⁵⁶ J. Turek, Z. Padelkova, M. S. Nechaev, A. Ruzicka, *J. Organomet. Chem.*, **2010**, 695, 1843.

- ⁵⁷ Z. Padelkova, A. Havlik, P. Svec, M. S. Nechaev, A. Ruzicka, *J. Organomet. Chem.*, **2010**, 695, 2651.
- ⁵⁸ P. Svec, E. Cernoskova, Z. Padelkova, A. Ruzicka, J. Holecek, *J. Organomet. Chem.*, **2010**, 695, 2474.
- ⁵⁹ B. W. Fitzsimmons, D. G. Othen, H. M. M Shearer, K. Wade, G. Whitehead, *J. Chem. Soc., Chem. Commun.*, **1977**, 215.
- ⁶⁰ W. Clegg, C. M. J. Grievson, K. Wade, *J. Chem. Soc., Chem. Commun.*, **1987**, 969.
- ⁶¹ (a) D. Dakternieks, K. Dunn, V. T. Perchyonok, C. H. Schiesser, E. R. T. Tiekkink, *J. Organomet. Chem.*, **2000**, 605, 209. (b) D. Dakternieks, K. Dunn, V. T. Perchyonok, C. H. Schiesser, E. R. T. Tiekkink, *J. Chem. Soc., Dalton Trans.*, **2000**, 3693. (c) D. Dakternieks, C. H. Schiesser, *Aust. J. Chem.*, **2001**, 54, 89. (d) D. Dakternieks, V. T. Perchyonok, C. H. Schiesser, *Tetrahedron: Asym.*, **2003**, 14, 3057. (e) G. Muller, J. Brand, Z. Anorg. Allg. Chem., **2005**, 631, 2820. (f) J. Kang, T. Hyung Kim, *Bull. Korean Chem. Soc.*, **2003**, 24, 1055.
- ⁶² D. P. Curran, C. T. Chang, *J. Org. Chem.*, **1989**, 54, 3140.
- ⁶³ (a) T. N. Mitchell, B. S. Bronk, *Organometallics*, **1991**, 19, 936. (b) D. P. Curran, G. Gualtieri, *SynLetters*, **2001**, 1038. (c) D. L. J. Clive, J. Wang, *J. Org. Chem.*, **2002**, 67, 1192.
- ⁶⁴ (a) P. Cmoch, Z. Urbanczyk-Lipkowska, A. Petrosyan, A. Stepien, K. Stalinski, *J. Molec. Struct.*, **2005**, 733, 29. (b) K. Stalinski, Z. Urbanczyk-Lipkowska, P. Cmoch, L. Rupnicki, A. Grachev, *J. Organomet. Chem.*, **2006**, 691, 2394. (c) D. Matkowska, M. Gola, M. Sniezak, P. Cmoch, K. Stalinski, *J. Organomet. Chem.*, **2007**, 692, 2036.
- ⁶⁵ (a) F. Fu, H. Li, D. Zhu, Q. Fangm H. Pan, E. R. T. Tiekkink, F. Kayser, M. Biesemans, I. Verbruggen, R. Willem, M. Gielen, *J. Organomet. Chem.*, **1995**, 490, 163. (b) R. Willem, A. Delmotte, I. de Borger, M. Biesemans, M. Gielen, F. Kayser, E. R. T. Tiekkink, *J. Organomet. Chem.*, **1994**, 480, 255. (c) F. Kayser, M. Biesemans, A. Delmotte, I. Verbruggen, I. de Borger, M. Gielen, R. Willem, *Organometallics*, **1994**, 13, 4026. (d) F. Kayser, M. Biesemans, H. Pan, M. Gielen, R. Willem, *J. Chem. Soc., Perkin Trans. 2*, **1994**, 297.
- ⁶⁶ M. Nadvornik, J. Holecek, K. Handlir, A. Lycka, *J. Organomet. Chem.*, **1984**, 275, 43.
- ⁶⁷ A. K. Sawyer, H. G. Kuivila, *J. Am. Chem. Soc.*, **1962**, 84, 837.
- ⁶⁸ A. G. Davies, R. Osei-Kiss, *J. Organomet. Chem.*, **1994**, 474, C8.
- ⁶⁹ H. Puff, B. Breuer, G. Brinkmann, P. Kind, H. Reuter, W. Schuh, W. Wald, G. Weidenbruck, *J. Organomet. Chem.*, **1989**, 363, 265.
- ⁷⁰ A. Bury, J. R. Speilman, *J. Org. Chem.*, **1961**, 83, 2667.
- ⁷¹ H. McAlonan, P. J. Stevenson, *Organometallics*, **1995**, 14, 4021.
- ⁷² (a) H. X. Zhang, F. Guibe, F. B. Balavoine, *J. Org. Chem.*, **1990**, 55, 1857. (b) V. I. Dodero, T. N. Mitchell, J. C. Podesta, *Organometallics*, **2003**, 22, 856.
- ⁷³ (a) M. Weidenbruch, J. Schlaefke, K. Peters, H. G. von Schnering, *J. Organomet. Chem.*, **1991**, 414, 319. (b) D. Cunningham, T. Higgins, P. McArdle, *J. Chem. Soc., Chem. Commun.*, **1984**, 833.
- ⁷⁴ D. Dakternieks, K. Dunn, C. H. Schiesser, E. R. T. Tiekkink, *J. Chem. Soc., Dalton Trans.*, **2000**, 3693.
- ⁷⁵ (a) M. Albrecht, G. van Koten, *Angew. Chem.*, **2001**, 113, 3866. (b) M. Albrecht, G. van Koten, *Angew. Chem., Int. Ed.*, **2001**, 40, 3750. (c) M. E. van der Boom, D. Milstein, *Chem. Rev.*, **2003**, 103, 1759. (d) W. J. Hoogervorst, A. L. Koster, M. Lutz, A. L. Spek, C. Elsevier, *Organometallics*, **2004**, 23, 1161. (e) N. Selander, K. J. Szabo, *Chem. Rev.*, **2011**, 111, 2048.
- ⁷⁶ (a) P. Simon, F. De Proft, R. Jambor, A. Ruzicka, L. Dostal, *Angew. Chem.*, **2010**, 120, 1674. (b) P. Simon, F. De Proft, R. Jambor, A. Ruzicka, L. Dostal, *Angew. Chem., Int. Ed.*, **2010**, 49, 5468.
- ⁷⁷ P. P. Power, *Nature*, **2010**, 463, 171.
- ⁷⁸ A. D. Phillips, R. J. Wright, M. M. Olmstead, P. P. Power, *J. Am. Chem. Soc.*, **2002**, 124, 5930.
- ⁷⁹ R. C. Fischer, L. Pu, J. C. Fettinger, M. A. Brynda, P. P. Power, *J. Am. Chem. Soc.*, **2006**, 128, 11366. (b) Y. Peng, R. C. Fischer, W. A. Merrill, J. Fischer, L. Pu, B. D. Ellis, J. C. Fettinger, R. H. Herber, P. P. Power, *Chem. Sci.*, **2010**, 1, 461. (c) R. Jambor, B. Kasna, K. N. Kirschner, M. Schurmann, K. Jurkschat, *Angew. Chem.*, **2008**, 120, 1674. (d) R. Jambor, B. Kasna, K. N. Kirschner, M. Schurmann, K. Jurkschat, *Angew. Chem., Int. Ed.*, **2008**, 47, 1650.
- ⁸⁰ (a) H. Gilman, C. Arntzen, *J. Am. Chem. Soc.*, **1950**, 72, 3823. (b) K. Akiba, Y. Ito, F. Kondo, N. Ohashi, A. Sakaguchi, S. Kojima, Y. Yamamoto, *Chem. Lett.*, **1992**, 1563. (c) G. D. Smith, P. E. Fanwick, I. P. Rothwell, *Acta Crystallogr., Sect. C: Cryst. Struct. Commun.*, **1995**, 51, 2501. (d) G. D. Smith, V. M. Visciglio, P. E. Fanwick, I. P. Rothwell, *Organometallics*, **1992**, 11, 1064. (e) D. J. Edwards, J. A. Hadfield, T. W. Wallace, S. Ducki, *Org. Biomol. Chem.*, **2011**, 9, 219. f) P. R. Markies, G. Schat, S. Griffioen, A. Villena, O. S. Akkerman, F. Bickelhaupt, *Organometallics*, **1991**, 10, 1531. (g) I. Wharf, M. G. Simard, *J. Organomet. Chem.*, **1997**, 532, 1.
- ⁸¹ J. F. Beck, J. A. R. Schmidt, *Dalton Trans.*, **2012**, 41, 860.
- ⁸² J. Clayden, N. Greeves, S. Warren, P. Wothers, *Organic Chemistry*, Oxford, Oxford University Press, **2001**, pp.615.

- ⁸³ (a) I. Bonniventure, A. B. Charette, *J. Org. Chem.*, **2008**, *73*, 6330. (b) R. Mosca, M. Fagnoni, M. Mella, A. Albini, *Tetrahedron*, **2001**, *57*, 10319.
- ⁸⁴ M. Veith, A. Rammo, C. Kirsch, L. Khemtemourian, D. Agustin, *J. Organomet. Chem.*, **2004**, *689*, 1546.
- ⁸⁵ (a) M. T. Ahmet, A. Houlton, C. S. Frampton, J. R. Miller, R. M. G. Roberts, J. Silver, B. Yavari, *J. Chem. Soc., Dalton Trans.*, **1993**, 3085. (b) S. S. Al-Juaid, M. Al-Rawi, C. Eaborn, P. B. Hitchcock, J. D. Smith, *J. Organomet. Chem.*, **1998**, *564*, 215.
- ⁸⁶ C. W. Perkins, J. C. Martin, A. J. Arduengo, W. Lau, A. Alegria, J. K. Kochi, *J. Am. Chem. Soc.* **1980**, *102*, 7753.
- ⁸⁷ J. Emsley, *Die Elemente*, Walter de Gruyter, Berlin, **1994**.
- ⁸⁸ *IUPAC Nomenclature of Organic Chemistry*, Pergamon Press, Oxford, **1979**.
- ⁸⁹ (a) M. Veith, A. Rammo, C. Kirsch, L. Khemtemourian, D. Agustin, *J. Organomet. Chem.*, **2004**, *689*, 1546. (b) G. Drehfahl, D. Lorentz, *J. Pract. Chem.*, **1964**, *24*, 106. (c) K. R. Flower, V. J. Howard, S. Naguthney, R. G. Pritchard, J. E. Warren, A. T. McGown, *Inorg. Chem.*, **2002**, *41*, 1907. (d) A. Panda, S. C. Menon, H. B. Singh, R. J. Butcher, *J. Organomet. Chem.*, **2001**, *623*, 87. (e) G. Drehfahl, D. Lorentz, *J. Pract. Chem.*, **1964**, *24*.
- ⁹⁰ J.C. Martins, M. Biesemans, R. Willem, *Prog. Nucl. Magn. Reson. Spectrosc.*, **2000**, *36*, 271.
- ⁹¹ B. Wrackmeyer, E. Kupce, J. Kummerlen, *Magn. Reson. Chem.*, **1992**, *30*, 403.
- ⁹² a) A. Deak, M. Venter, A. Kalman, L. Parkanyi, L. Radics, I. Haiduc, *Eur. J. Inorg. Chem.* **2000**, *127*. b) L. Parkanyi, A. Kalman, A. Deak, M. Venter, I. Haiduc, *Inorg. Chem. Commun.* **1999**, *2*, 265. c) E. Lopez-Torres, A. R. Cowley, J. R. Dilworth, *Inorg. Chem. Commun.* **2007**, *10*, 724. d) M. Nardelli, C. Pelizzi, G. Pelizzi, P. Tarasconi, *J. Chem. Soc. Dalton Trans.* **1985**, *321*. e) C. Pelizzi, G. Pelizzi, P. Tarasconi, *J. Organomet. Chem.* **1984**, *277*, 29.
- ⁹³ E. Pretsch, P. Buhlmann, C. Affolter, *Structure Determination of Organic Compounds. Tables of Spectral Data*, 3rd Ed., New York, Springer, **2000**, pp. 273.
- ⁹⁴ (a) D. R. Burfield, K. -H. Lee, R. H. Smithers, *J. Org. Chem.*, **1977**, *42*, 3060. (b) D. R. Burfield, R. H. Smithers, *J. Org. Chem.*, **1978**, *43*, 3966. (c) D. R. Burfield, R. H. Smithers, *J. Org. Chem.*, **1983**, *48*, 2420.
- ⁹⁵ (a) I. Bonniventure, A. B. Charette, *J. Org. Chem.*, **2008**, *73*, 6330. (b) R. Mosca, M. Fagnoni, M. Mella, A. Albini, *Tetrahedron*, **2001**, *57*, 10319.
- ⁹⁶ MestReC and MestReNova, Mestrelab Research S.L., A Coruña 15706, Santiago de Compostela.
- ⁹⁷ G. M. Sheldrick, *Acta Crystallogr., Sect A*, **2008**, *64*, 112.
- ⁹⁸ DIAMOND – Visual Crystal Structure Information System, CRYSTAL IMPACT: Postfach 1251, D-53002 Bonn, Germany.
- ⁹⁹ P. v. d. Sluis, A. L. Spek, *Acta Crystallogr., Sect A*, **1990**, *A46*, 194.
- ¹⁰⁰ R. L. Mishra, S.K. Mishra, S. G. Prakash, *J. Ovonic Res.*, **2009**, *5*, 77.
- ¹⁰¹ G. W. Hunter, C. C. Liu, D. B. Makel, *The MEMS Hand Book*, CRC Press, LLC, **2002**, pp. 1-22.
- ¹⁰² A. Goetzberger, C. Helbling, *Sol. Energy Mater and solar cells*, **2000**, *62*, 1.
- ¹⁰³ K. S. Parka, Y. J. Parkb, M. K. Kima, J. T. Sona, H. G. Kima, S.J. Kim, *J. Power Sources*, **2001**, *103*, 67.
- ¹⁰⁴ M. Zervos, A. Othonos, *Nanoscale Res Lett*, **2009**, *4*, 1103.
- ¹⁰⁵ (a) N. Takahashi, M. Takekawa, T. Takahashi, T. Nakamura, M. Yoshioka, Y. Kawata, *Solid State Sci.*, **2003**, *5*, 587. (b) T. Maruyama, T. Morishita, *Appl. Phys. Lett.*, **1996**, *69*, 890.
- ¹⁰⁶ K. L. Choy, *Prog. Mater. Sci.*, **2003**, *48*, 57.
- ¹⁰⁷ H. O. Pierson, *Handbook of chemical vapour deposition (CVD). Principles, Technology, and Applications*, 2nd Ed., New York, Noyes Publications / William Andrew Publishing, LLC, **1999**, pp. 73-74.
- ¹⁰⁸ (a) M. T. Pope, A. Muller, *Angew. Chem. Int. Ed.*, **1991**, *30*, 34. (b) M. T. Pope, *Comprehensive Coordination Chemistry II*, Elsevier, Oxford, **2004**, pp. 635. (c) C. L. Hill, *Comprehensive Coordination Chemistry II*, Elsevier, Oxford, **2004**, pp. 679.
- ¹⁰⁹ H. W. Roesky, I. Haiduc, N. S. Hosmane, *Chem. Rev.*, **2003**, *103*, 2579.
- ¹¹⁰ (a) B. Cetinkaya, I. Gumkurcu, M. F. Lappert, J. L. Atwood, R. D. Rogers, M. J. Zaworotko , *J. Am. Chem. Soc.*, **1980**, *102*, 2088. (b) D. M. Barnhart, D. L. Clark, J. Watkin, *Acta Crystallogr., Sect. C: Cryst. Struct. Commun.*, **1994**, *50*, 702.
- ¹¹¹ (a) C. D. Chandler, C. Roger, M. J. Hampden-Smith, *Chem. Rev.*, **1993**, *93*, 1205. (b) K. G. Caulton, L. G. Hubert-Pfalzgraf, *Chem. Rev.*, **1990**, *90*, 969. (c) L. G. Hubert-Pfalzgraf, *New J. Chem.*, **1987**, *11*, 663.
- ¹¹² (a) E. A. Gulliver, J. W. Garvey, T. A. Wark, M. J. Hampden-Smith, A. Datye, *J. Am. Ceram. Soc.*, **1991**, *74*, 1091. (b) M. J. Hampden-Smith, T. A. Wark, C. J. Brinker, *Coord. Chem. Rev.*, **1992**, *112*, 81.
- ¹¹³ R. A. Howie, W. Moser, *Nature*, **1968**, *219*, 372.
- ¹¹⁴ R. R. Holmes, *Acc. Chem. Res.*, **1989**, *22*, 190.

- ¹¹⁵ P. Kircher, G. Huttner, L. Zsolnai, A. Driess, *Angew. Chem. Int. Ed.*, **1998**, *37*, 1666.
- ¹¹⁶ P. H. Harrison, B. J. Haylett, T. J. King, *J. Chem. Soc., Chem. Commun.*, **1978**, 112.
- ¹¹⁷ N. Hollingsworth, G. A. Horley, M. Mazhar, M. M. Mahon, K. C. Molloy, P. W. Haycock, C. P. Myers, G. W. Critchlow, *Appl. Organomet. Chem.*, **2006**, *20*, 687.
- ¹¹⁸ I. Wakshima, I. Kijima, *Chem. Lett.*, **1972**, 325.
- ¹¹⁹ T. B. Brill, N. C. Campbell, *Inorg. Chem.*, **1973**, *12*, 1884.
- ¹²⁰ (a) M. J. Hampden-Smith, T. A. Wark, A. L. Rheingold, J. C. Huffman, *Can. J. Chem.*, **1991**, *69*, 121. (b) H. Reuter, M. Kremer, *Z. Anorg. Allg. Chem.*, **1991**, *598/599*, 259. (c) C. D. Chandler, J. Caruso, M. J. Hampden-Smith, A. L. Rheingold, *Polyhedron*, **1995**, *14*, 2491.
- ¹²¹ L. R. Sita, J. R. Babcock, R. Xi, *J. Am. Chem. Soc.*, **1996**, *118*, 10912.
- ¹²² L. R. Sita, R. Xi, G. P. A. Yap, L. M. Liable-Sands, A. L. Rheingold, *J. Am. Chem. Soc.*, **1997**, *119*, 756.
- ¹²³ A. I. Yanovskii, N. Y. Turova, E. P. Turevskaya, Y. T. Struchkov, *Koord. Khim.*, **1982**, *8*, 153.
- ¹²⁴ T. J. Boyle, T. M. Alam, M. A. Rodriguez, C. A. Zechmann, *Inorg. Chem.*, **2002**, *41*, 2574.
- ¹²⁵ (a) M. S. Holt, W. L. Wilson, J. H. Nelson, *Chem. Rev.*, **1989**, *89*, 11. (b) M. F. Lappert, R. S. Rowe, *Coord. Chem. Rev.*, **1990**, *100*, 267. (c) M. Veith, S. Weidner, K. Kunze, D. Kafer, J. Han, V. Huch, *Coord. Chem. Rev.*, **1994**, *137*, 297.
- ¹²⁶ (a) R. F. Bryan, *J. Am. Chem. Soc.*, **1968**, 696. (b) M. Weidenbruch, A. Stilter, K. Peters, H. G. van Schnering, *Z. Anorg. Allg. Chem.*, **1996**, *622*, 534.
- ¹²⁷ (a) C. A. Jaska, A. Bartole-Scott, I. Manners, *Dalton Trans.*, **2003**, 4015. (b) A. R. McWilliams, H. Dorn, I. Manners, *Top. Curr. Chem.*, **2002**, *220*, 141.
- ¹²⁸ M. Afzaal, M. A. Malik, P. O'Brien, *Chem. Commun.*, **2004**, 334.
- ¹²⁹ (a) M. Afzaal, D. Crouch, M. A. Malik, M. Motavalli, P. O'Brien, J. H. Park, J. D. Woollins, *Eur. J. Inorg. Chem.*, **2004**, 171. (b) M. Afzaal, K. Ellwood, N. L. Pickett, P. O'Brien, J. Raftery, J. Waters, *J. Mater. Chem.*, **2004**, *14*, 1310.
- ¹³⁰ (a) T. Chivers, T. J. Clark, M. Krahn, M. Parvez, G. Schatte, *Eur. J. Inorg. Chem.*, **2003**, 1857. (b) T. Chivers, D. J. Eisler, *Angew. Chem. Int. Ed.*, **2004**, *43*, 6686.
- ¹³¹ (a) M. Veith, M. L. Sommer, D. Jager, *Chem. Ber.*, **1979**, *112*, 2581. (b) M. Veith, O. Recktenwald, *Z. Naturforsch.*, **1983**, *38b*, 1054.
- ¹³² M. Veith, G. Schlemmer, *Chem. Ber.*, **1982**, *115*, 2141.
- ¹³³ M. Veith, M. Opsolder, M. Zimmer, V. Huch, *Eur. J. Inorg. Chem.*, **2000**, 1143.
- ¹³⁴ (a) A. Bashall, N. Feeder, E. A. Harron, M. McPartlin, M. E. G. Mosquera, D. Saez, D. S. Wright, *J. Chem. Soc., Dalton Trans.*, **2000**, 4104. (b) A. Bashall, A. Ciulli, E. A. Harron, G. T. Lawson, M. McPartlin, M. E. G. Mosquera, D. S. Wright, *J. Chem. Soc., Dalton Trans.*, **2002**, 1046.
- ¹³⁵ H. Chen, R. A. Bartlett, H. V. Rasika Dias, M. M. Olmstead, P. P. Power, *Inorg. Chem.*, **1991**, *30*, 3390.
- ¹³⁶ (a) R. E. Allan, M. A. Beswick, A. J. Edwards, M. A. Paver, M. A. Rennie, P. R. Raithby, D. S. Wright, *J. Chem. Soc., Dalton Trans.*, **1995**, 1991. (b) R. E. Allan, M. A. Beswick, N. L. Cromhout, M. A. Paver, P. R. Raithby, A. Steiner, M. Trevithick, D. S. Wright, *Chem. Commun.*, **1996**, 1501.
- ¹³⁷ R. E. Allan, M. A. Beswick, G. R. Coggan, P. R. Raithby, A. E. H. Wheatley, D. S. Wright, *Inorg. Chem.*, **1997**, *36*, 5202.
- ¹³⁸ M. Veith, W. Frank, *Angew. Chem. Int. Ed. Engl.*, **1985**, *24*, 223.
- ¹³⁹ M. Veith, M. Grosser, O. Recktenwald, *J. Organomet. Chem.*, **1981**, *216*, 27.
- ¹⁴⁰ T. Chivers, T. J. Clark, M. Parvez, Gabriele Schatte, *Dalton Trans.*, **2003**, 2107.
- ¹⁴¹ (a) T. A. George, K. Jones, M. F. Lappert, *J. Chem. Soc.*, **1965**, 2157. (b) J. K. Brask, T. Chiver, M. Parvez, *Angew. Chem. Int. Ed. Engl.*, **2000**, *39*, 958.
- ¹⁴² D. Dakternieks, T.S. B. Baul, S. Dutta, E.R. T. Tiekkink, *Organometallics*, **1998**, *17*, 3058.
- ¹⁴³ M. Veith, H. Lange, *Angew. Chem. Int. Ed. Engl.*, **1980**, *19*, 401.
- ¹⁴⁴ B. Galan, M. E. G. Mosquera, J. S. Palmer, P. R. Raithby, D. S. Wright, *J. Chem. Soc., Dalton Trans.*, **1999**, 1043.
- ¹⁴⁵ (a) A.-M. Sapse, P. v. R. Schleyer, **1995**, *Lithium Chemistry; A Theoretical and Experimental Overview*, Wiley, New York, pp. 227, 295. (b) M. M. Olmstead, P. P. Power, *Inorg. Chem.*, **1991**, *30*, 2547. (c) M. M. Olmstead, J. T. Ellison, P. P. Power, S. C. Shoner, *Inorg. Chem.*, **1991**, *30*, 2888. (d) F. A. Cotton, R. L. Luck, K.-A. Son, *Inorg. Chim. Acta*, **1991**, *179*, 11.
- ¹⁴⁶ T. Chivers, G. Shatte, *Chem. Commun.*, **2001**, 2264.
- ¹⁴⁷ Y. Zhou, D. S. Richeson, *J. Am. Chem. Soc.* **1996**, *118*, 10850.
- ¹⁴⁸ (a) W-P. Leung, W-H. Kwok, L. T. C. Law, Z-Y. Zhou, T. C. W. Mak, *Chem. Commun.* **1996**, 505. (b) M.

- C. Kuchta, G. Parkin, *J. Am. Chem. Soc.* **1994**, *116*, 8372.
- ¹⁴⁹ T. Chivers, D. J. Eisler, J. S. Ritch, *Z. Anorg. Allg. Chem.*, **2004**, *630*, 1941.
- ¹⁵⁰ M. Veith, J. Fischer, T. R. Prout, M. Notzel, P. Hobein, V. Huch, *Inorg. Chem.*, **1991**, *30*, 4130.
- ¹⁵¹ (a) M. Veith, *Angew. Chem.*, **1975**, *87*, 287. (b) M. Veith, *Angew. Chem., Int. Ed. Engl.*, **1975**, *14*, 263.
- ¹⁵² K. Jones, Comprehensive Inorganic Chemistry, The Chemistry of Nitrogen, Pergamon Reso, Oxford, **1975**, pp 245.
- ¹⁵³ (a) B. Dietrich, J. Guilhem, J. M. Lehn, C. Pascard, E. Sonveaux, *Helv. Chim. Acta*, 1984, *67*, 91. (b) B. Metz, J. M. Rosalky, R. Weiss, *J. Chem. Soc., Chem. Commun.*, **1976**, 533. (c) R. A. Bell, G. G. Christoph, F. R. Fronzek, R. E. Marsh, *Science*, **1975**, *190*, 151.
- ¹⁵⁴ N. G. Parsonage, L. A. Staveley, *Disorder in Crystals*, Clarendon, Oxford, **1978**.
- ¹⁵⁵ (a) N. Tokitoh, R. Okazaki, *The Chemistry of Organic Germanium, Tin and Lead Compounds*, Vol. 2, Part 1, Wiley, Chichester, 2002, pp. 843. (b) N. Tokitoh, R. Okazaki, *Adv. Organomet. Chem.* 2001, *47*, 121. (c) R. Okazaki, N. Tokitoh, *Acc. Chem. Res.* **2000**, *33*, 625. (d) P. P. Power, *Chem. Rev.*, **1999**, *99*, 3463. (e) M. Saito, N. Tokitoh, R. Okazaki, *J. Am. Chem. Soc.* **1997**, *119*, 11124.
- ¹⁵⁶ (a) W.-P. Leung, W.-H. Kwok, L. T. C. Law, Z.-Y. Zhou, T. C. W. Mak, *Chem. Commun.*, **1996**, 505. (b) M. Saito, N. Tokitoh, R. Okazaki, *J. Am. Chem. Soc.*, **1997**, *119*, 11124.
- ¹⁵⁷ M. C. Janzen, H. A. Jenkins, L. M. Rendina, J. J. Vittal, R. J. Puddephatt, *Inorg. Chem.*, **1999**, *38*, 2123.
- ¹⁵⁸ (a) F. Benevelli, E. L. Doyle, E. A. Harron, N. Feeder, E. A. Quadrelli, D. Saez, D. S. Wright, *Angew. Chem. Int. Ed.*, **2000**, *39*, 1501. (b) D. R. Armstrong, F. Benevelli, A. D. Bond, N. Feeder, E. A. Harron, A. D. Hopkins, M. McPartlin, D. Moncrieff, D. Saez, E. A. Quadrelli, A. D. Woods, D. S. Wright, *Inorg. Chem.*, **2002**, *41*, 1492.
- ¹⁵⁹ F. Benevelli, E. M. Doyle, E. A. Harron, N. Feeder, E. A. Quadrelli, D. Saez, D.S. Wright, *Angew. Chem.*, **2000**, *112*, 1559.
- ¹⁶⁰ K. Okamura, B. Nasr, R. A. Branda, H. Hahn, *J. Mater. Chem.*, **2012**, *22*, 4607.
- ¹⁶¹ (a) S. V. Nand, K. Ankur, K. Brijesh, M. B. Raj, Mehta Bodh, *Solid State Sci.*, **2008**, *10*, 569. (b) E. Kroke, M. Schwarz, *Coord. Chem. Rev.*, **2004**, *248*, 493. (c) N. Scotti, W. Kockelmann, J. Senker, S. Trassel, H. Jacobs, *Z. Anorg. Allg. Chem.*, **1999**, *625*, 1435. (d) L. Maya, *Inorg. Chem.*, **1992**, *31*, 1958.
- ¹⁶² (a) D. R. Burfield, K. -H. Lee, R. H. Smithers, *J. Org. Chem.*, **1977**, *42*, 3060. (b) D. R. Burfield, R. H. Smithers, *J. Org. Chem.*, **1978**, *43*, 3966. (c) D. R. Burfield, R. H. Smithers, *J. Org. Chem.*, **1983**, *48*, 2420.
- ¹⁶³ S. D. Cosham, *Synthesis and characterisation of single-source CVD precursors for M-N-Si composites*, PhD. Thesis, (**2010**), University of Bath, United Kingdom.